

**Adopted Levels, Gammas**

Type	Author	History	Citation	Literature Cutoff Date
Full Evaluation	Huang Xiaolong and Kang Mengxiao		NDS 121, 395 (2014)	1-Mar-2014

Q(β<sup>-</sup>)=-2845 26; S(n)=6887 23; S(p)=6075 23; Q(α)=2277 24    2012Wa38

<sup>195</sup>Hg Levels

Cross Reference (XREF) Flags

<b>A</b>	<sup>195</sup> Hg IT decay (41.6 h)	<b>D</b>	(HI,xnγ)
<b>B</b>	<sup>195</sup> Tl ε decay	<b>E</b>	(HI,xnγ):SD
<b>C</b>	<sup>196</sup> Hg(p,d)		

E(level) <sup>†</sup>	J <sup>π</sup> <sup>‡</sup>	T <sub>1/2</sub>	XREF	Comments
0.0	1/2 <sup>-</sup>	10.53 h 3	ABC	%ε+%β <sup>+</sup> =100 μ=+0.5414749 14 (1973Re04,2011StZZ) J <sup>π</sup> : optical double resonance and μ analysis (1978LeZA,1976Fu06). T <sub>1/2</sub> : From 2001Li17 (weighted average of six γ(t) measurements). Others: 9.5 h 5 (1952Hu54), 11.5 h 10 (1973Vi09). μ: From optical pumping, nuclear magnetic resonance (1973Re04); <sup>199</sup> Hg standard. Others: +0.541475 1 (1978LeZA), +0.542272 34 (1978LeZA), calculated with the use of hyperfine-structure ratio relative to <sup>199</sup> Hg), +0.538 (1976Fu06). For the μ calculation see 1985Kr14.
37.083 19	3/2 <sup>-</sup>	<50 ps	ABC	J <sup>π</sup> : γ to 1/2 <sup>-</sup> is M1+E2. T <sub>1/2</sub> : from γγ(t) measurement in <sup>195</sup> Hg IT decay (1973Vi09).
53.289 20	5/2 <sup>-</sup>	0.72 ns 3	ABC	J <sup>π</sup> : γ to 1/2 <sup>-</sup> is E2 and γ from 13/2 <sup>+</sup> is M4. T <sub>1/2</sub> : from γγ(t) measurement in <sup>195</sup> Hg IT decay (1969Ba42). Other: 0.79 ns 7 (1961Re12).
176.07& 4	13/2 <sup>+</sup>	41.6 h 8	ABCD	%IT=54.2 20; %ε+%β <sup>+</sup> =45.8 20 μ=-1.0446473 26 (1973Re04,2011StZZ) Q=+1.08 11 (1986U102,2011StZZ) μ: From optical pumping, nuclear magnetic resonance (1973Re04), <sup>199</sup> Hg standard. Others: -1.044647 3 (1978LeZA), -1.05565 13 (1978LeZA), calculated with the hyperfine-structure ratio relative to <sup>199</sup> Hg standard), -1.038 (1976Fu06). Q: <sup>201</sup> Hg standard. Other: +1.27 11 (1978LeZA), +1.2 (1976Fu06). For the Q calculation see 1985Kr14. J <sup>π</sup> : optical double resonance and μ analysis (1978LeZA,1976Fu06). T <sub>1/2</sub> : from γ(t) measurement (1973Vi09). Others: 43 h 5 (1961Ju06), 42 h 3 (1954Br56), 40.0 h 5 (1953Hu44), and 38.0 h (1951Mo55). For the suggested configuration, see 1986AgZZ.
279.203 24	3/2 <sup>-</sup>		BC	J <sup>π</sup> : γ to 1/2 <sup>-</sup> is M1+E2.
300.55 3	3/2 <sup>-</sup> ,5/2 <sup>-</sup>		BC	J <sup>π</sup> : γ to 1/2 <sup>-</sup> is E2.
373.17 11	(9/2 <sup>+</sup> )		B	J <sup>π</sup> : 373-, 844-, 847- and 1304-keV levels are low-spin members of the i13/2 <sup>+</sup> band; (3/2 <sup>+</sup> ) to 5/2 <sup>+</sup> to 9/2 <sup>+</sup> to 13/2 <sup>+</sup> and (3/2 <sup>+</sup> ) to 7/2 <sup>+</sup> to 9/2 <sup>+</sup> to 13/2 <sup>+</sup> are γ-ray cascades of the 456-471-197 and 426-501-197 keV; the energies of the transitions in these levels are close to the analogous cascades in <sup>197</sup> Hg (1977Ke18,1977ZgZZ); E2 of the 197 and 471-keV γ's are consistent (1978Go15).
410.31 4	3/2 <sup>-</sup> ,5/2 <sup>-</sup> ,7/2 <sup>-</sup>		B	J <sup>π</sup> : γ to 5/2 <sup>-</sup> is M1.
422.51 10	(1/2 <sup>-</sup> to 7/2 <sup>-</sup> )		B	J <sup>π</sup> : (E2) 407γ to this level from 3/2 <sup>-</sup> .
547.06& 11	17/2 <sup>+</sup>		D	J <sup>π</sup> : γ to 13/2 <sup>+</sup> is stretched E2 and decoupled i13/2 <sup>+</sup> band member.
595.48 4	(3/2 <sup>-</sup> )		B	J <sup>π</sup> : γ to 3/2 <sup>-</sup> is M1 and log ft=7.29 from 1/2 <sup>+</sup> ; (M1+E2) γ to 5/2 <sup>-</sup> rules out 1/2 <sup>-</sup> .

Continued on next page (footnotes at end of table)

**Adopted Levels, Gammas (continued)**

<sup>195</sup>Hg Levels (continued)

E(level) <sup>†</sup>	J <sup>π</sup> <sup>‡</sup>	T <sub>1/2</sub>	XREF	Comments
600.67 4	3/2 <sup>-</sup>		B	J <sup>π</sup> : γ to 5/2 <sup>-</sup> is M1 and log ft=6.70 from 1/2 <sup>+</sup> .
764.57 5	1/2 <sup>-</sup>		B	J <sup>π</sup> : γ to 1/2 <sup>-</sup> is E0+M1.
814.71 4	1/2 <sup>-</sup> ,3/2 <sup>-</sup>		B	J <sup>π</sup> : γ to 1/2 <sup>-</sup> is M1.
844.8 4	(5/2 <sup>+</sup> ) <sup>#</sup>		B	
848.38 24	(15/2 <sup>+</sup> ) <sup>@</sup>		D	
874.66 19	(7/2 <sup>+</sup> ) <sup>#</sup>		B	
893.16 5	3/2 <sup>-</sup>		B	J <sup>π</sup> : γ to 5/2 <sup>-</sup> is M1 and log ft=7.32 from 1/2 <sup>+</sup> .
921.56 4	1/2 <sup>-</sup> ,3/2 <sup>-</sup>		B	J <sup>π</sup> : γ to 1/2 <sup>-</sup> is M1 and log ft=6.51 from 1/2 <sup>+</sup> .
1004.56 4	1/2 <sup>-</sup> ,3/2 <sup>-</sup>		B	J <sup>π</sup> : γ to 3/2 <sup>-</sup> is M1 and log ft=7.09 from 1/2 <sup>+</sup> .
1067.43 7	(3/2 <sup>-</sup> ,5/2 <sup>-</sup> )		B	J <sup>π</sup> : γ to 1/2 <sup>-</sup> and 7/2 <sup>-</sup> ; log ft=8.18 from 1/2 <sup>+</sup> .
1140.33 9	1/2 <sup>-</sup> ,3/2,5/2 <sup>-</sup>		B	J <sup>π</sup> : γ to 1/2 <sup>-</sup> and 5/2 <sup>-</sup> ; log ft=7.67 from 1/2 <sup>+</sup> .
1158.41 <sup>&amp;</sup> 14	21/2 <sup>+</sup>		D	J <sup>π</sup> : γ to 17/2 <sup>+</sup> is stretched E2 and decoupled i13/2 <sup>+</sup> band member.
1259.51 13	1/2 <sup>-</sup> ,3/2,5/2 <sup>-</sup>		B	J <sup>π</sup> : γ to 1/2 <sup>-</sup> ,5/2 <sup>-</sup> and log ft=7.99 from 1/2 <sup>+</sup> .
1301.1 4	(3/2 <sup>+</sup> ) <sup>#</sup>		B	
1400.77 5	1/2 <sup>-</sup>		B	J <sup>π</sup> : γ to 1/2 <sup>-</sup> is E0+M1.
1460.91 19	(19/2 <sup>+</sup> ) <sup>@</sup>		D	J <sup>π</sup> : γ to 17/2 <sup>+</sup> is M1+E2 and γ from 21/2 <sup>-</sup> is (E1).
1486.50 18	(19/2 <sup>+</sup> ) <sup>@</sup>		D	
1548.67 6	1/2 <sup>-</sup> ,3/2 <sup>-</sup>		B	J <sup>π</sup> : γ to 3/2 <sup>-</sup> is M1 and log ft=6.47 from 1/2 <sup>+</sup> .
1664.24 7	1/2,3/2,5/2 <sup>-</sup>		B	J <sup>π</sup> : log ft=7.01 from 1/2 <sup>+</sup> .
1714.65 14	1/2,3/2,5/2 <sup>-</sup>		B	J <sup>π</sup> : log ft=6.99 from 1/2 <sup>+</sup> .
1742.59 9	1/2,3/2		B	J <sup>π</sup> : log ft=6.69 from 1/2 <sup>+</sup> .
1744.37 <sup>a</sup> 16	21/2 <sup>-</sup>		D	J <sup>π</sup> : bandhead of the coupled i13/2 band with signature α=-1/2 in (HI,xny). For the suggested possible configuration, see <a href="#">1986AgZZ</a> .
1831.39 14	1/2,3/2		B	J <sup>π</sup> : log ft=7.0 from 1/2 <sup>+</sup> .
1865.95 <sup>e</sup> 23	23/2 <sup>-</sup>		D	
1868.85 <sup>&amp;</sup> 22	25/2 <sup>+</sup>		D	J <sup>π</sup> : γ to 21/2 <sup>+</sup> is stretched E2 and decoupled i13/2 <sup>+</sup> band member.
1870.1 <sup>a</sup> 4	25/2 <sup>-</sup>	1.48 ns 6	D	J <sup>π</sup> : γ to 21/2 <sup>-</sup> is E2 and member of the coupled i13/2 band with signature α=-1/2. T <sub>1/2</sub> : from ce(t) measurement in (HI,xny) ( <a href="#">1978Me11</a> ).
1879.26 19	1/2,3/2		B	J <sup>π</sup> : log ft=7.30 from 1/2 <sup>+</sup> .
1893.13 25	1/2,3/2		B	J <sup>π</sup> : log ft=7.57 from 1/2 <sup>+</sup> .
1975.37 15	1/2,3/2		B	J <sup>π</sup> : log ft=7.20 from 1/2 <sup>+</sup> .
2014.69 6	1/2,3/2		B	J <sup>π</sup> : log ft=6.19 from 1/2 <sup>+</sup> .
2057.37 11	1/2,3/2		B	J <sup>π</sup> : log ft=6.48 from 1/2 <sup>+</sup> .
2080.93 <sup>e</sup> 24	27/2 <sup>-</sup>		D	
2171.6 <sup>a</sup> 4	29/2 <sup>-</sup>		D	J <sup>π</sup> : γ to 25/2 <sup>-</sup> is E2 and member of the coupled i13/2 band with signature α=-1/2.
2230.14 13	1/2,3/2		B	J <sup>π</sup> : log ft=7.0 from 1/2 <sup>+</sup> .
2255.59 23	1/2,3/2		B	J <sup>π</sup> : log ft=6.77 from 1/2 <sup>+</sup> .
2285.07 6	1/2,3/2		B	J <sup>π</sup> : log ft=6.22 from 1/2 <sup>+</sup> .
2305.01 11	1/2,3/2		B	J <sup>π</sup> : log ft=6.27 from 1/2 <sup>+</sup> .
2311.5 3	1/2,3/2		B	J <sup>π</sup> : log ft=6.96 from 1/2 <sup>+</sup> .
2338.4 4	1/2,3/2		B	J <sup>π</sup> : log ft=6.46 from 1/2 <sup>+</sup> .
2339.2 6	1/2,3/2		B	J <sup>π</sup> : log ft=7.35 from 1/2 <sup>+</sup> .
2363.1 3	1/2,3/2		B	J <sup>π</sup> : log ft=6.53 from 1/2 <sup>+</sup> .
2403.1 4	1/2,3/2		B	J <sup>π</sup> : log ft=6.39 from 1/2 <sup>+</sup> .
2413.01 <sup>b</sup> 24	29/2 <sup>+</sup>		D	J <sup>π</sup> : γ to 25/2 <sup>+</sup> is stretched E2 and decoupled i13/2 <sup>+</sup> band member.
2420.27 14	1/2,3/2		B	J <sup>π</sup> : log ft=6.04 from 1/2 <sup>+</sup> .
2428.79 16	1/2,3/2		B	J <sup>π</sup> : log ft=6.38 from 1/2 <sup>+</sup> .
2456.8 4	1/2,3/2		B	J <sup>π</sup> : log ft=6.60 from 1/2 <sup>+</sup> .
2508.24 19	1/2,3/2		B	J <sup>π</sup> : log ft=6.33 from 1/2 <sup>+</sup> .
2513.23 10	1/2 <sup>+</sup> ,3/2 <sup>+</sup>		B	J <sup>π</sup> : log ft=5.69 from 1/2 <sup>+</sup> .
2627.8 <sup>e</sup> 3	31/2 <sup>-</sup>		D	

Continued on next page (footnotes at end of table)

Adopted Levels, Gammas (continued) $^{195}\text{Hg}$  Levels (continued)

<u>E(level)<sup>†</sup></u>	<u>J<sup>π</sup><sup>‡</sup></u>	<u>T<sub>1/2</sub></u>	<u>XREF</u>	<u>Comments</u>
2691.3 <sup>b</sup> 3	33/2 <sup>+</sup>	≤0.25 ns	D	J <sup>π</sup> : γ to 29/2 <sup>+</sup> is stretched E2 and decoupled i13/2 <sup>+</sup> band member. T <sub>1/2</sub> : from ce(t) measurement in (HI,xnγ) (1978Me11).
2759.0 <sup>&amp;</sup> 4	(29/2 <sup>+</sup> )		D	
2773.8 <sup>a</sup> 4	33/2 <sup>-</sup>		D	
3159.2 <sup>b</sup> 3	37/2 <sup>+</sup>		D	
3214.9 3	33/2 <sup>+</sup> @		D	
3264.9 <sup>c</sup> 4	33/2 <sup>+</sup>		D	
3366.8 <sup>e</sup> 4	35/2 <sup>-</sup>		D	
3403.3 4	35/2 @		D	
3505.0 5			D	
3556.0 <sup>a</sup> 4	37/2 <sup>-</sup>		D	
3562.6 <sup>c</sup> 3	37/2 <sup>+</sup>		D	
3699.7 4	37/2 <sup>+</sup>		D	
3866.7 4	39/2 @		D	
3868.8 <sup>b</sup> 5	41/2 <sup>+</sup>		D	
4080.2 <sup>c</sup> 4	41/2 <sup>+</sup>		D	
4183.0 <sup>d</sup> 5	41/2 <sup>-</sup>		D	
4197.1 <sup>e</sup> 5	39/2 <sup>-</sup>		D	
4397.4 4	41/2 <sup>+</sup>		D	
4519.8 4	43/2 @		D	
4580.8 7			D	
4709.6 <sup>d</sup> 5	45/2 <sup>-</sup>		D	
4741.7 <sup>b</sup> 5	45/2 <sup>+</sup>		D	
4802.5 <sup>f</sup> 6	43/2 <sup>-</sup>		D	
4808.9 5			D	
4901.5 <sup>c</sup> 5	45/2 <sup>+</sup>		D	
4982.2 4	43/2 <sup>+</sup> @		D	
5136.5 6			D	
5175.8 5	43/2 <sup>+</sup>		D	
5242.2 6			D	
5253.5 4			D	
5309.4 5	45/2 <sup>+</sup>		D	
5379.3 <sup>f</sup> 6	47/2 <sup>-</sup>		D	
5400.4 <sup>d</sup> 5	49/2 <sup>-</sup>		D	
5410.8 <sup>h</sup> 5	47/2 <sup>+</sup>		D	J <sup>π</sup> : stretch E1 to 45/2 <sup>-</sup> .
5446.0 5	53/2 <sup>-</sup>		D	
5490.1 6			D	
5499.3 6			D	
5558.0? 6			D	
5591.4 7			D	
5597.7 7			D	
5686.8 <sup>h</sup> 6	49/2 <sup>+</sup>		D	
5748.6 <sup>b</sup> 6	49/2 <sup>+</sup>		D	
5799.6 7			D	
5869.0 8			D	
5892.2 <sup>h</sup> 6	51/2 <sup>+</sup>		D	
5962.9 9			D	
6175.4 6			D	
6298.6 <sup>h</sup> 6	53/2 <sup>+</sup>		D	
6326.5 <sup>d</sup> 6	53/2 <sup>-</sup>		D	

Continued on next page (footnotes at end of table)

Adopted Levels, Gammas (continued) $^{195}\text{Hg}$  Levels (continued)

E(level) <sup>†</sup>	J <sup>π</sup> <sup>‡</sup>	XREF	Comments
6495.4 8	55/2	D	
6650.5 <sup>h</sup> 6	55/2 <sup>+</sup>	D	
6791.6 8	57/2	D	
7127.1 <sup>h</sup> 7	57/2 <sup>+</sup>	D	
7188.8 10		D	
7404.9 7	57/2 <sup>(-)</sup>	D	J <sup>π</sup> : stretch Q, probably (E2), to 53/2 <sup>-</sup> .
7411.8 7	57/2 <sup>(-)</sup>	D	J <sup>π</sup> : stretch Q, probably (E2), to 53/2 <sup>-</sup> .
7536.6 <sup>h</sup> 8	59/2 <sup>+</sup>	D	
7744.1 <sup>g</sup> 8	59/2 <sup>(-)</sup>	D	
8008.9 <sup>h</sup> 9	61/2 <sup>+</sup>	D	
8066.6 <sup>g</sup> 8	61/2 <sup>(-)</sup>	D	
8381.7 <sup>h</sup> 10	63/2 <sup>+</sup>	D	
8456.1 <sup>g</sup> 8	63/2 <sup>(-)</sup>	D	
8891.8 <sup>g</sup> 9	65/2 <sup>(-)</sup>	D	
9331.4 <sup>g</sup> 9	67/2 <sup>(-)</sup>	D	
9785.3 <sup>g</sup> 10	69/2 <sup>(-)</sup>	D	
10220.8 <sup>g</sup> 12	71/2 <sup>(-)</sup>	D	
v <sup>i</sup>	J	D	
171.8+v <sup>i</sup>	J+1	D	
443.2+v <sup>i</sup>	J+2	D	
748.8+v <sup>i</sup>	J+3	D	
x <sup>j</sup>	J≈(25/2 <sup>+</sup> )	E	J <sup>π</sup> : from 33/2 to 29/2 assignment for 333.9γ. Parity from 9/2[624] orbital assignment.
294.0+x <sup>j</sup> ? <sup>j</sup> 10	J+2	E	
627.9+x <sup>j</sup> ? <sup>j</sup> 10	J+4	E	J <sup>π</sup> : 333.9γ assigned as 33/2 to 29/2 transition based on Harris expansion of moment of inertia versus angular frequency (1997Ha01).
1000.7+x <sup>j</sup> ? <sup>j</sup> 11	J+6	E	
1411.9+x <sup>j</sup> ? <sup>j</sup> 11	J+8	E	
1860.3+x <sup>j</sup> ? <sup>j</sup> 11	J+10	E	
2345.0+x <sup>j</sup> ? <sup>j</sup> 11	J+12	E	
2864.8+x <sup>j</sup> ? <sup>j</sup> 11	J+14	E	
3418.8+x <sup>j</sup> ? <sup>j</sup> 11	J+16	E	
4006.3+x <sup>j</sup> ? <sup>j</sup> 12	J+18	E	
4626.6+x <sup>j</sup> ? <sup>j</sup> 12	J+20	E	
5278.8+x <sup>j</sup> ? <sup>j</sup> 13	J+22	E	
5962.0+x <sup>j</sup> ? <sup>j</sup> 13	J+24	E	
6676.2+x <sup>j</sup> ? <sup>j</sup> 13	J+26	E	
7419.4+x <sup>j</sup> ? <sup>j</sup> 15	J+28	E	
8192.2+x <sup>j</sup> ? <sup>j</sup> 16	J+30	E	
8994.4+x <sup>j</sup> ? <sup>j</sup> 18	J+32	E	
9826.3+x <sup>j</sup> ? <sup>j</sup> 21	J+34	E	
10687.4+x <sup>j</sup> ? <sup>j</sup> 23	J+36	E	
11574.4+x <sup>j</sup> ? <sup>j</sup> 25	J+38	E	
y <sup>k</sup>	J≈(23/2 <sup>+</sup> )	E	J <sup>π</sup> : from 27/2 to 23/2 assignment for 273.9γ. Parity from 9/2[624] orbital assignment.
273.9+y <sup>k</sup> ? <sup>k</sup> 2	J+2	E	J <sup>π</sup> : 273.9γ assigned as 27/2 to 23/2 transition based on Harris expansion of moment of inertia versus angular frequency (1997Ha01).
588.1+y <sup>k</sup> ? <sup>k</sup> 2	J+4	E	
941.6+y <sup>k</sup> ? <sup>k</sup> 3	J+6	E	
1333.8+y <sup>k</sup> ? <sup>k</sup> 3	J+8	E	
1763.7+y <sup>k</sup> ? <sup>k</sup> 3	J+10	E	
2230.6+y <sup>k</sup> ? <sup>k</sup> 3	J+12	E	

Continued on next page (footnotes at end of table)

Adopted Levels, Gammas (continued) $^{195}\text{Hg}$  Levels (continued)

E(level) <sup>†</sup>	J <sup>π</sup> <sup>‡</sup>	XREF	Comments
2733.4+y <sup>k</sup> 4	J+14	E	
3271.0+y <sup>k</sup> 4	J+16	E	
3842.3+y <sup>k</sup> 4	J+18	E	
4446.5+y <sup>k</sup> 4	J+20	E	
5082.7+y <sup>k</sup> 6	J+22	E	
5750.8+y <sup>k</sup> 6	J+24	E	
6448.9+y <sup>k</sup> 6	J+26	E	
7177.2+y <sup>k</sup> 7	J+28	E	
7935.0+y <sup>k</sup> 7	J+30	E	
8722.2+y <sup>k</sup> 8	J+32	E	
9538.0+y <sup>k</sup> 12	J+34	E	
10383.0+y <sup>k</sup> 15	J+36	E	
11257.0+y <sup>k</sup> 18	J+38	E	
z <sup>l</sup>	J≈(21/2 <sup>-</sup> )	E	J <sup>π</sup> : from 29/2 to 25/2 assignment for 284.5γ. Parity from j <sub>15/2</sub> orbital assignment.
244.0+z <sup>l</sup> 10	J+2	E	
528.5+z <sup>l</sup> 10	J+4	E	J <sup>π</sup> : 284.5γ assigned as 29/2 to 25/2 transition based on Harris expansion of moment of inertia versus angular frequency (1997Ha01).
853.5+z <sup>l</sup> 10	J+6	E	
1218.9+z <sup>l</sup> 11	J+8	E	
1624.2+z <sup>l</sup> 11	J+10	E	
2069.2+z <sup>l</sup> 11	J+12	E	
2553.7+z <sup>l</sup> 11	J+14	E	
3077.3+z <sup>l</sup> 11	J+16	E	
3639.4+z <sup>l</sup> 11	J+18	E	
4239.4+z <sup>l</sup> 11	J+20	E	
4876.6+z <sup>l</sup> 11	J+22	E	
5549.9+z <sup>l</sup> 11	J+24	E	
6258.6+z <sup>l</sup> 12	J+26	E	
7000.8+z <sup>l</sup> 15	J+28	E	
7776.9+z <sup>l</sup> 15	J+30	E	
8581.9+z <sup>l</sup> 16	J+32	E	
9411.0+z <sup>l</sup> 17	J+34	E	
10259.5+z <sup>l</sup> 18	J+36	E	
11127.5+z <sup>l</sup> 20	J+38	E	
u <sup>m</sup>	J≈(31/2 <sup>-</sup> )	E	J <sup>π</sup> : from 35/2 to 31/2 assignment for 341.9γ. Parity from j <sub>15/2</sub> orbital assignment.
341.9+u <sup>m</sup> 1	J+2	E	J <sup>π</sup> : 341.9γ assigned as 35/2 to 31/2 transition based on Harris expansion of moment of inertia versus angular frequency (1997Ha01).
722.8+u <sup>m</sup> 2	J+4	E	
1141.9+u <sup>m</sup> 2	J+6	E	
1599.1+u <sup>m</sup> 2	J+8	E	
2093.6+u <sup>m</sup> 2	J+10	E	
2625.0+u <sup>m</sup> 3	J+12	E	
3192.6+u <sup>m</sup> 3	J+14	E	
3795.4+u <sup>m</sup> 3	J+16	E	
4433.5+u <sup>m</sup> 3	J+18	E	
5105.9+u <sup>m</sup> 4	J+20	E	
5811.8+u <sup>m</sup> 5	J+22	E	
6550.9+u <sup>m</sup> 9	J+24	E	
7322.5+u <sup>m</sup> 10	J+26	E	

Continued on next page (footnotes at end of table)

Adopted Levels, Gammas (continued) $^{195}\text{Hg}$  Levels (continued)

<u>E(level)<sup>†</sup></u>	<u>J<sup>π</sup><sup>‡</sup></u>	<u>XREF</u>
8125.5+u <sup>m</sup> 11	J+28	E
8962.0+u <sup>m</sup> 12	J+30	E
9830.0+u <sup>m</sup> 13	J+32	E
10729.0+u <sup>m</sup> 15	J+34	E

<sup>†</sup> From least-squares fit to E $\gamma$ 's.

<sup>‡</sup> From directional correlation ratios I $\gamma$ (30°)/I $\gamma$ (90°) determined from coincidence spectra and known stretched E2 transitions and band structure analysis (HI,xn $\gamma$ ) (1998Ne01,1991Me06), except as noted.

# See J<sup>π</sup> notes for the 373-keV level.

@ From directional correlation ratios I $\gamma$ (30°)/I $\gamma$ (90°) determined from coincidence spectra (HI,xn $\gamma$ ) (1991Me06).

& Band(A): Decoupled i<sub>13/2</sub> band. Signature  $\alpha=+1/2$ . Configuration=( $\nu$  i<sub>13/2</sub>). Members of band: 13/2<sup>+</sup> to 29/2<sup>+</sup>.

<sup>a</sup> Band(B): Coupled i<sub>13/2</sub> band. Signature  $\alpha=-1/2$ . Configuration=( $\nu$  i<sub>13/2</sub>). Members of band: 21/2<sup>-</sup> to 37/2<sup>-</sup>.

<sup>b</sup> Band(C): Signature  $\alpha=+1/2$ . Members of band: 29/2<sup>+</sup> to 49/2<sup>+</sup>.

<sup>c</sup> Band(D): Signature  $\alpha=+1/2$ . Members of band: 33/2<sup>+</sup> to 45/2<sup>+</sup>.

<sup>d</sup> Band(E): Signature  $\alpha=+1/2$ . Members of band: 41/2<sup>-</sup> to 53/2<sup>-</sup>.

<sup>e</sup> Band(F): Signature  $\alpha=-1/2$ . Members of band: 23/2<sup>-</sup> to 39/2<sup>-</sup>.

<sup>f</sup> Band(G): Signature  $\alpha=-1/2$ . Members of band: 43/2<sup>-</sup> to 47/2<sup>-</sup>.

<sup>g</sup> Band(H): dipole sequence-1  $\pi=(-)$ .

<sup>h</sup> Band(I): dipole sequence-2  $\pi=+$ .

<sup>i</sup> Band(J): dipole sequence-3.

<sup>j</sup> Band(K): SD-1 band (1997Ha01),  $\alpha=+1/2$ . Percent population=0.4 2.

<sup>k</sup> Band(L): SD-2 band (1997Ha01),  $\alpha=-1/2$ . Percent population=0.9 3. SD-1 and SD-2 bands are interpreted (1997Ha01) as signature partners based on  $\nu$ 9/2[624] orbital.

<sup>l</sup> Band(M): SD-3 band (1997Ha01),  $\alpha=+1/2$ . Percent population=0.4 1.

<sup>m</sup> Band(N): SD-4 band (1997Ha01),  $\alpha=-1/2$ . Percent population=0.6 3. SD-3 and SD-4 bands are interpreted (1997Ha01) as signature partners based on  $\nu$ j<sub>15/2</sub> intruder orbital.

**Adopted Levels, Gammas (continued)**

$\gamma(^{195}\text{Hg})$

All data are from <sup>195</sup>Tl  $\epsilon$  decay, except as noted.  
For unplaced  $\gamma$ , see <sup>195</sup>Tl  $\epsilon$  decay.

$E_i(\text{level})$	$J_i^\pi$	$E_\gamma$	$I_\gamma^\dagger$	$E_f$	$J_f^\pi$	Mult.	$\delta$	$\alpha^a$	Comments
37.083	3/2 <sup>-</sup>	37.09 <sup>‡</sup> 3	100 <sup>‡</sup>	0.0	1/2 <sup>-</sup>	M1+E2 <sup>‡</sup>	0.032 <sup>‡</sup> 5	26.7 5	B(M1)(W.u.)>0.31; B(E2)(W.u.)>60
53.289	5/2 <sup>-</sup>	16.21 <sup>‡</sup> 3	100 <sup>‡</sup> 11	37.083	3/2 <sup>-</sup>	M1+E2 <sup>‡</sup>	0.024 <sup>‡</sup> 6	321 13	B(M1)(W.u.)=0.022 4; B(E2)(W.u.)=18 10
		53.29 <sup>‡</sup> 3	5.1 <sup>‡</sup> 4	0.0	1/2 <sup>-</sup>	E2 <sup>‡</sup>		99.8	B(E2)(W.u.)=4.2 7
176.07	13/2 <sup>+</sup>	122.78 <sup>‡</sup> 3	100 <sup>‡</sup>	53.289	5/2 <sup>-</sup>	M4 <sup>‡</sup>		1840	B(M4)(W.u.)=1.73 8
279.203	3/2 <sup>-</sup>	225.93 5	29.6 22	53.289	5/2 <sup>-</sup>	M1+E2	0.47 +17-20	0.69 6	
		242.15 5	100 8	37.083	3/2 <sup>-</sup>	M1(+E2)	0.42 +17-22	0.58 5	
		279.19 5	87 6	0.0	1/2 <sup>-</sup>	M1+E2	1.53 2	0.224	
300.55	3/2 <sup>-</sup> , 5/2 <sup>-</sup>	21.36 4		279.203	3/2 <sup>-</sup>				I( $\gamma$ +ce)=37 9 E $\gamma$ : transition not seen, but required by $\gamma\gamma$ . E $\gamma$ from the level energy difference. I( $\gamma$ +ce): from I( $\gamma$ +ce)/I( $\gamma$ )(300 $\gamma$ )=37 9/100 7 ( <sup>195</sup> Tl $\epsilon$ decay.).
		247.30 5	53.7 35	53.289	5/2 <sup>-</sup>	M1(+E2)	0.52 +17-19	0.52 5	
		263.51 10	36.6 22	37.083	3/2 <sup>-</sup>	M1(+E2)	1.0 +3-2	0.34 5	
		300.60 5	100 7	0.0	1/2 <sup>-</sup>	E2		0.1058	
373.17	(9/2 <sup>+</sup> )	197.10 10	100	176.07	13/2 <sup>+</sup>	(E2)		0.411	
410.31	3/2 <sup>-</sup> , 5/2 <sup>-</sup> , 7/2 <sup>-</sup>	109.78 10	9 6	300.55	3/2 <sup>-</sup> , 5/2 <sup>-</sup>				
		131.14 10	25 6	279.203	3/2 <sup>-</sup>				
		356.99 5	77 76	53.289	5/2 <sup>-</sup>	M1		0.225	
		373.24 5	100 7	37.083	3/2 <sup>-</sup>	(E2)		0.0571	
422.51	(1/2 <sup>-</sup> to 7/2 <sup>-</sup> )	122.0 <sup>d</sup>		300.55	3/2 <sup>-</sup> , 5/2 <sup>-</sup>				
		143.4 <sup>d</sup>		279.203	3/2 <sup>-</sup>				
		369.26 10	100 15	53.289	5/2 <sup>-</sup>				
		385.5 <sup>d</sup>		37.083	3/2 <sup>-</sup>				
547.06	17/2 <sup>+</sup>	371.0 <sup>#</sup> 1	100 <sup>#</sup>	176.07	13/2 <sup>+</sup>	E2 <sup>#</sup>		0.0581	
595.48	(3/2 <sup>-</sup> )	172.9 <sup>d</sup>		422.51	(1/2 <sup>-</sup> to 7/2 <sup>-</sup> )				
		185.8 5	1.0 8	410.31	3/2 <sup>-</sup> , 5/2 <sup>-</sup> , 7/2 <sup>-</sup>				
		295.14 20	5.4 17	300.55	3/2 <sup>-</sup> , 5/2 <sup>-</sup>				
		316.27 10	3.7 17	279.203	3/2 <sup>-</sup>				
		542.16 5	41.2 33	53.289	5/2 <sup>-</sup>	(E2+M1)		0.05 3	
		558.38 5	100 6	37.083	3/2 <sup>-</sup>	M1		0.0686	
		595.2 <sup>c</sup>	3.7 <sup>c</sup> 12	0.0	1/2 <sup>-</sup>				
600.67	3/2 <sup>-</sup>	178.1 <sup>d</sup>		422.51	(1/2 <sup>-</sup> to 7/2 <sup>-</sup> )				
		190.4 <sup>d</sup>		410.31	3/2 <sup>-</sup> , 5/2 <sup>-</sup> , 7/2 <sup>-</sup>				

**Adopted Levels, Gammas (continued)**

$\gamma(^{195}\text{Hg})$  (continued)

$E_i(\text{level})$	$J_i^\pi$	$E_\gamma$	$I_\gamma^\dagger$	$E_f$	$J_f^\pi$	Mult.	$\alpha^a$
600.67	3/2 <sup>-</sup>	299.9 <sup>d</sup>		300.55	3/2 <sup>-</sup> ,5/2 <sup>-</sup>		
		321.3 <sup>c</sup>	0.51 <sup>c</sup> 25	279.203	3/2 <sup>-</sup>		
		547.34 5	6.4 4	53.289	5/2 <sup>-</sup>	M1	0.0723
		563.52 5	100 5	37.083	3/2 <sup>-</sup>	M1	0.0670
		600.64 10	6.2 9	0.0	1/2 <sup>-</sup>		
764.57	1/2 <sup>-</sup>	163.9 <sup>d</sup>		600.67	3/2 <sup>-</sup>		
		169.2 <sup>d</sup>		595.48	(3/2) <sup>-</sup>		
		464.01 10	14 4	300.55	3/2 <sup>-</sup> ,5/2 <sup>-</sup>		
		485.38 10	54 6	279.203	3/2 <sup>-</sup>	(M1+E2)	0.06 4
		711.15 10	100 7	53.289	5/2 <sup>-</sup>		
		727.40 15	80 11	37.083	3/2 <sup>-</sup>	(M1)	0.0345
		764.52 10	51 6	0.0	1/2 <sup>-</sup>	E0+M1	0.15 4
814.71	1/2 <sup>-</sup> ,3/2 <sup>-</sup>	214.1 <sup>d</sup>		600.67	3/2 <sup>-</sup>		
		219.3 <sup>d</sup>		595.48	(3/2) <sup>-</sup>		
		392.2 <sup>d</sup>		422.51	(1/2 <sup>-</sup> to 7/2 <sup>-</sup> )		
		404.5 <sup>d</sup>		410.31	3/2 <sup>-</sup> ,5/2 <sup>-</sup> ,7/2 <sup>-</sup>		
		514.1 <sup>d</sup>		300.55	3/2 <sup>-</sup> ,5/2 <sup>-</sup>		
		535.5 <sup>d</sup>		279.203	3/2 <sup>-</sup>		
		761.42 15	8.9 17	53.289	5/2 <sup>-</sup>		
		777.68 15	59 9	37.083	3/2 <sup>-</sup>		
		814.68 5	100 5	0.0	1/2 <sup>-</sup>	M1	0.0258
		471.7 4	100	373.17	(9/2 <sup>+</sup> )		
844.8	(5/2 <sup>+</sup> )						
848.38	(15/2 <sup>+</sup> )	301.5 <sup>#</sup> 9	100 <sup>#</sup> 50	547.06	17/2 <sup>+</sup>		
		672.1 <sup>#</sup> 5		176.07	13/2 <sup>+</sup>		
874.66	(7/2 <sup>+</sup> )	501.48 15	100	373.17	(9/2 <sup>+</sup> )		
893.16	3/2 <sup>-</sup>	128.6 <sup>d</sup>		764.57	1/2 <sup>-</sup>		
		292.5 <sup>d</sup>		600.67	3/2 <sup>-</sup>		
		297.7 <sup>d</sup>		595.48	(3/2) <sup>-</sup>		
		470.8 4	10 5	422.51	(1/2 <sup>-</sup> to 7/2 <sup>-</sup> )	(E2)	0.0312
		482.8 <sup>c</sup>	29 <sup>c</sup> 4	410.31	3/2 <sup>-</sup> ,5/2 <sup>-</sup> ,7/2 <sup>-</sup>		
		592.59 10	100 11	300.55	3/2 <sup>-</sup> ,5/2 <sup>-</sup>	M1	0.0587
		613.88 10	60 7	279.203	3/2 <sup>-</sup>	M1	0.0535
		839.9 <sup>d</sup>		53.289	5/2 <sup>-</sup>		
		855.94 10	24.8 22	37.083	3/2 <sup>-</sup>		
		893.06 10	75 6	0.0	1/2 <sup>-</sup>	M1	0.0204
921.56	1/2 <sup>-</sup> ,3/2 <sup>-</sup>	107.0 <sup>d</sup>		814.71	1/2 <sup>-</sup> ,3/2 <sup>-</sup>		
		157.1 <sup>d</sup>		764.57	1/2 <sup>-</sup>		
		321.3 <sup>c</sup>	1.68 <sup>c</sup> 53	600.67	3/2 <sup>-</sup>		
		326.0 <sup>c</sup>	1.5 <sup>c</sup> 4	595.48	(3/2) <sup>-</sup>		

**Adopted Levels, Gammas (continued)**

$\gamma(^{195}\text{Hg})$  (continued)

$E_i(\text{level})$	$J_i^\pi$	$E_\gamma$	$I_\gamma^\dagger$	$E_f$	$J_f^\pi$	Mult.	$\alpha^A$
921.56	1/2 <sup>-</sup> , 3/2 <sup>-</sup>	499.0 <sup>d</sup>		422.51	(1/2 <sup>-</sup> to 7/2 <sup>-</sup> )		
		511.4	4.8 16	410.31	3/2 <sup>-</sup> , 5/2 <sup>-</sup> , 7/2 <sup>-</sup>		
		620.96 10	2.2 3	300.55	3/2 <sup>-</sup> , 5/2 <sup>-</sup>	(E2)	0.01628
		642.60 20	1.5 3	279.203	3/2 <sup>-</sup>		
		868.56 30	0.40 21	53.289	5/2 <sup>-</sup>		
		884.47 5	100 6	37.083	3/2 <sup>-</sup>	M1	0.0209
		921.59 5	22.5 13	0.0	1/2 <sup>-</sup>	M1	0.0188
1004.56	1/2 <sup>-</sup> , 3/2 <sup>-</sup>	111.5 <sup>d</sup>		893.16	3/2 <sup>-</sup>		
		189.8 <sup>d</sup>		814.71	1/2 <sup>-</sup> , 3/2 <sup>-</sup>		
		240.0 <sup>d</sup>		764.57	1/2 <sup>-</sup>		
		403.86 10	5.4 12	600.67	3/2 <sup>-</sup>		
		408.8 <sup>c</sup>	7.6 <sup>c</sup> 12	595.48	(3/2) <sup>-</sup>	M1	0.1565
		582.3 3	5.3 15	422.51	(1/2 <sup>-</sup> to 7/2 <sup>-</sup> )		
		595.2 <sup>c</sup>	10.4 <sup>c</sup> 15	410.31	3/2 <sup>-</sup> , 5/2 <sup>-</sup> , 7/2 <sup>-</sup>		
		704.03 15	8.7 10	300.55	3/2 <sup>-</sup> , 5/2 <sup>-</sup>		
		725.27 15	29 4	279.203	3/2 <sup>-</sup>	M1	0.0347
		951.39 30	8.3 25	53.289	5/2 <sup>-</sup>		
		967.46 5	100 6	37.083	3/2 <sup>-</sup>	M1	0.01659
1067.43	(3/2 <sup>-</sup> , 5/2 <sup>-</sup> )	1004.54 10	7.1 10	0.0	1/2 <sup>-</sup>		
		657.11 25	42 13	410.31	3/2 <sup>-</sup> , 5/2 <sup>-</sup> , 7/2 <sup>-</sup>		
		788.06 15	23 5	279.203	3/2 <sup>-</sup>		
		1013.82 20	11 7	53.289	5/2 <sup>-</sup>		
1140.33	1/2 <sup>-</sup> , 3/2, 5/2 <sup>-</sup>	1067.16 10	100 10	0.0	1/2 <sup>-</sup>		
		326.0 <sup>c</sup>	4 <sup>c</sup> 3	814.71	1/2 <sup>-</sup> , 3/2 <sup>-</sup>		
		544.0 <sup>c</sup>	3.3 <sup>c</sup> 20	595.48	(3/2) <sup>-</sup>		
		861.13 15	28 4	279.203	3/2 <sup>-</sup>		
		1086.90 20	11 3	53.289	5/2 <sup>-</sup>		
		1102.93 30	25 12	37.083	3/2 <sup>-</sup>		
		1140.47 <sup>c</sup> 20	100 <sup>c</sup> 16	0.0	1/2 <sup>-</sup>		
1158.41	21/2 <sup>+</sup>	611.3 <sup>#</sup> 1	100 <sup>#</sup>	547.06	17/2 <sup>+</sup>	E2 <sup>#</sup>	0.01686
1259.51	1/2 <sup>-</sup> , 3/2, 5/2 <sup>-</sup>	659.3 5	26 21	600.67	3/2 <sup>-</sup>		
		980.23 15	100 13	279.203	3/2 <sup>-</sup>		
		1222.37 30	47 17	37.083	3/2 <sup>-</sup>		
		1260.0 5	55 17	0.0	1/2 <sup>-</sup>		
1301.1	(3/2 <sup>+</sup> )	426		874.66	(7/2 <sup>+</sup> )		
		456.35 10	100 29	844.8	(5/2 <sup>+</sup> )		
1400.77	1/2 <sup>-</sup>	396.55 30	0.9 5	1004.56	1/2 <sup>-</sup> , 3/2 <sup>-</sup>		
		585.4 5	0.45 37	814.71	1/2 <sup>-</sup> , 3/2 <sup>-</sup>		
		799.9 4	0.46 25	600.67	3/2 <sup>-</sup>		
		805.32 15	2.1 5	595.48	(3/2) <sup>-</sup>		
		1100.33 10	27.8 15	300.55	3/2 <sup>-</sup> , 5/2 <sup>-</sup>	E2	0.00501
		1121.66 <sup>c</sup> 10	25 <sup>c</sup> 4	279.203	3/2 <sup>-</sup>	M1	0.01139

Adopted Levels, Gammas (continued)

<u><math>\gamma(^{195}\text{Hg})</math> (continued)</u>							
$E_i(\text{level})$	$J_i^\pi$	$E_\gamma$	$I_\gamma^\dagger$	$E_f$	$J_f^\pi$	Mult.	$\alpha^a$
1400.77	1/2 <sup>-</sup>	1347.78 10	13.8 8	53.289	5/2 <sup>-</sup>		
		1363.88 <sup>c</sup> 10	100 <sup>c</sup> 5	37.083	3/2 <sup>-</sup>	M1	0.00699
		1400.7 3	0.78 19	0.0	1/2 <sup>-</sup>	E0+M1	0.62 15
1460.91	(19/2) <sup>+</sup>	913.8 <sup>#</sup> 2	100 <sup>#</sup>	547.06	17/2 <sup>+</sup>	M1+E2 <sup>#</sup>	
1486.50	(19/2 <sup>+</sup> )	638.1 <sup>#</sup> 2	68 <sup>#</sup> 14	848.38	(15/2 <sup>+</sup> )		
		939.7 <sup>#</sup> 2	100 <sup>#</sup> 18	547.06	17/2 <sup>+</sup>		
1548.67	1/2 <sup>-</sup> , 3/2 <sup>-</sup>	408.8 <sup>c</sup>	2.3 <sup>c</sup> 11	1140.33	1/2 <sup>-</sup> , 3/2, 5/2 <sup>-</sup>	M1	0.1565
		482.8 <sup>c</sup>	7.3 <sup>c</sup> 22	1067.43	(3/2 <sup>-</sup> , 5/2 <sup>-</sup> )		
		544.0 <sup>c</sup>	11.6 <sup>c</sup> 17	1004.56	1/2 <sup>-</sup> , 3/2 <sup>-</sup>	M1+E2	0.05 3
		655.45 20	19 3	893.16	3/2 <sup>-</sup>	M1	0.0452
		733.94 10	26.3 22	814.71	1/2 <sup>-</sup> , 3/2 <sup>-</sup>		
		783.72 30	3.4 11	764.57	1/2 <sup>-</sup>		
		948.41 30	3.3 17	600.67	3/2 <sup>-</sup>		
		953.0 10	2.2 13	595.48	(3/2 <sup>-</sup> )		
		1248.00 20	6.5 11	300.55	3/2 <sup>-</sup> , 5/2 <sup>-</sup>		
		1269.51 10	100 5	279.203	3/2 <sup>-</sup>	M1	0.00834
		1511.62 10	60 3	37.083	3/2 <sup>-</sup>		
		1548.0 <sup>c</sup>	5.2 <sup>c</sup> 17	0.0	1/2 <sup>-</sup>		
		1664.24	1/2, 3/2, 5/2 <sup>-</sup>	849.3 <sup>c</sup>	8 <sup>c</sup> 6	814.71	1/2 <sup>-</sup> , 3/2 <sup>-</sup>
1063.14 30	21 6			600.67	3/2 <sup>-</sup>		
1363.88 <sup>c</sup> 10	20 <sup>c</sup> 11			300.55	3/2 <sup>-</sup> , 5/2 <sup>-</sup>		
1627.00 10	98 9			37.083	3/2 <sup>-</sup>		
1664.20 25	100 11			0.0	1/2 <sup>-</sup>		
1714.65	1/2, 3/2, 5/2 <sup>-</sup>	792.8 4	6.3 25	921.56	1/2 <sup>-</sup> , 3/2 <sup>-</sup>		
		821.3 <sup>c</sup>	17 <sup>c</sup> 5	893.16	3/2 <sup>-</sup>		
		899.5 4	5.4 25	814.71	1/2 <sup>-</sup> , 3/2 <sup>-</sup>		
		1114.11 30	16 5	600.67	3/2 <sup>-</sup>		
		1435.52 20	100 9	279.203	3/2 <sup>-</sup>		
		1678.0 5	15 5	37.083	3/2 <sup>-</sup>		
		1714.4 <sup>c</sup>	63 <sup>c</sup> 15	0.0	1/2 <sup>-</sup>		
1742.59	1/2, 3/2	675.38 20	4.3 18	1067.43	(3/2 <sup>-</sup> , 5/2 <sup>-</sup> )		
		737.8 4	2.8 14	1004.56	1/2 <sup>-</sup> , 3/2 <sup>-</sup>		
		821.3 <sup>c</sup>	3.9 <sup>c</sup> 21	921.56	1/2 <sup>-</sup> , 3/2 <sup>-</sup>		
		849.3 <sup>c</sup>	9 <sup>c</sup> 4	893.16	3/2 <sup>-</sup>		
		927.90 20	27 3	814.71	1/2 <sup>-</sup> , 3/2 <sup>-</sup>		
		1140.47 <sup>c</sup> 20	3.4 <sup>c</sup> 14	600.67	3/2 <sup>-</sup>		
		1690.0 6	11 4	53.289	5/2 <sup>-</sup>		
		1705.88 15	100 7	37.083	3/2 <sup>-</sup>		
		1743.08 20	19.9 18	0.0	1/2 <sup>-</sup>		
1744.37	21/2 <sup>-</sup>	258.1 <sup>#</sup> 2	3.9 <sup>#</sup> 7	1486.50	(19/2 <sup>+</sup> )		
		283.4 <sup>#</sup> 2	14.8 <sup>#</sup> 13	1460.91	(19/2 <sup>+</sup> )	(E1) <sup>#</sup>	0.0318

Adopted Levels, Gammas (continued)

$\gamma(^{195}\text{Hg})$  (continued)

$E_i(\text{level})$	$J_i^\pi$	$E_\gamma$	$I_\gamma^\dagger$	$E_f$	$J_f^\pi$	Mult.	$\alpha^a$	Comments
1744.37	21/2 <sup>-</sup>	586.1 <sup>#</sup> 1	100 <sup>#</sup> 10	1158.41	21/2 <sup>+</sup>			
1831.39	1/2,3/2	1531.01 25	40 4	300.55	3/2 <sup>-</sup> ,5/2 <sup>-</sup>			
		1552.26 25	62 7	279.203	3/2 <sup>-</sup>			
		1778.2 <sup>c</sup>	62 <sup>c</sup> 15	53.289	5/2 <sup>-</sup>			
		1794.13 20	100 8	37.083	3/2 <sup>-</sup>			
1865.95	23/2 <sup>-</sup>	122.2 <sup>#</sup> 2	100 <sup>#</sup>	1744.37	21/2 <sup>-</sup>			
1868.85	25/2 <sup>+</sup>	709.7 <sup>#</sup> 2	100 <sup>#</sup>	1158.41	21/2 <sup>+</sup>	E2 <sup>#</sup>	0.01216	
1870.1	25/2 <sup>-</sup>	126.6 <sup>#</sup> 5	100 <sup>#</sup>	1744.37	21/2 <sup>-</sup>	E2 <sup>#</sup>	2.12 5	B(E2)(W.u.)=56 3
1879.26	1/2,3/2	1842.16 20	100 7	37.083	3/2 <sup>-</sup>			
		1879.3 5	10 4	0.0	1/2 <sup>-</sup>			
1893.13	1/2,3/2	1613.9 3	93 25	279.203	3/2 <sup>-</sup>			
		1856.4 7	100 30	37.083	3/2 <sup>-</sup>			
		1893.0 5	51 20	0.0	1/2 <sup>-</sup>			
1975.37	1/2,3/2	834.7 5	64 30	1140.33	1/2 <sup>-</sup> ,3/2,5/2 <sup>-</sup>			
		1053.3 <sup>c</sup>	57 <sup>c</sup> 30	921.56	1/2 <sup>-</sup> ,3/2 <sup>-</sup>			
		1210.88 25	98 25	764.57	1/2 <sup>-</sup>			
		1374.68 20	90 15	600.67	3/2 <sup>-</sup>			
		1675.2 7	54 30	300.55	3/2 <sup>-</sup> ,5/2 <sup>-</sup>			
		1696.6 10	100 40	279.203	3/2 <sup>-</sup>			
2014.69	1/2,3/2	1009.99 10	18.5 22	1004.56	1/2 <sup>-</sup> ,3/2 <sup>-</sup>			
		1092.82 15	11.3 12	921.56	1/2 <sup>-</sup> ,3/2 <sup>-</sup>			
		1121.66 <sup>c</sup> 10	18 <sup>c</sup> 4	893.16	3/2 <sup>-</sup>			
		1200.00 25	7.8 15	814.71	1/2 <sup>-</sup> ,3/2 <sup>-</sup>			
		1419.6 5	2.1 15	595.48	(3/2) <sup>-</sup>			
		1714.4 <sup>c</sup>	33 <sup>c</sup> 5	300.55	3/2 <sup>-</sup> ,5/2 <sup>-</sup>			
		1735.4 4	6.1 12	279.203	3/2 <sup>-</sup>			
		1961.6 3	6.1 12	53.289	5/2 <sup>-</sup>			
		1977.75 15	100 2	37.083	3/2 <sup>-</sup>			
		2014.75 15	50.6 24	0.0	1/2 <sup>-</sup>			
2057.37	1/2,3/2	1053.3 <sup>c</sup>	6 <sup>c</sup> 4	1004.56	1/2 <sup>-</sup> ,3/2 <sup>-</sup>			
		1163.96 20	12 4	893.16	3/2 <sup>-</sup>			
		1242.61 20	10 3	814.71	1/2 <sup>-</sup> ,3/2 <sup>-</sup>			
		1456.6 4	19 7	600.67	3/2 <sup>-</sup>			
		1462. 1	7 4	595.48	(3/2) <sup>-</sup>			
		1756.93 20	41 4	300.55	3/2 <sup>-</sup> ,5/2 <sup>-</sup>			
		1778.2 <sup>c</sup>	100 <sup>c</sup> 14	279.203	3/2 <sup>-</sup>			
		2004.4 <sup>c</sup>	22 <sup>c</sup> 6	53.289	5/2 <sup>-</sup>			
		2020.8 4	13 4	37.083	3/2 <sup>-</sup>			
		2057.4 4	41 6	0.0	1/2 <sup>-</sup>			
2080.93	27/2 <sup>-</sup>	211.2 <sup>#</sup> 2	31 <sup>#</sup> 5	1870.1	25/2 <sup>-</sup>			
		215.6 <sup>#</sup> 2	100 <sup>#</sup> 10	1865.95	23/2 <sup>-</sup>			

Adopted Levels, Gammas (continued)

$\gamma(^{195}\text{Hg})$  (continued)

$E_i(\text{level})$	$J_i^\pi$	$E_\gamma$	$I_\gamma^\dagger$	$E_f$	$J_f^\pi$	Mult.	$\alpha^a$
2171.6	29/2 <sup>-</sup>	89.6 <sup>#</sup> 4	1.99	2080.93	27/2 <sup>-</sup>		
		301.5 <sup>#</sup> 1	100 <sup>#</sup> 8	1870.1	25/2 <sup>-</sup>	E2 <sup>#</sup>	0.1049
2230.14	1/2,3/2	1337.1 5	23 17	893.16	3/2 <sup>-</sup>		
		1929.56 20	42 9	300.55	3/2 <sup>-</sup> ,5/2 <sup>-</sup>		
		1950.88 20	100 12	279.203	3/2 <sup>-</sup>		
		2193.2 4	30 12	37.083	3/2 <sup>-</sup>		
2255.59	1/2,3/2	1660.7 7	82 19	595.48	(3/2) <sup>-</sup>		
		2202.5 7	32 17	53.289	5/2 <sup>-</sup>		
		2218.34 30	40 10	37.083	3/2 <sup>-</sup>		
		2255.6 5	100 12	0.0	1/2 <sup>-</sup>		
2285.07	1/2,3/2	884.47 5	1.6 10	1400.77	1/2 <sup>-</sup>		
		1216.53 15	37 5	1067.43	(3/2 <sup>-</sup> ,5/2 <sup>-</sup> )		
		1363.88 <sup>c</sup> 10	24 <sup>c</sup> 12	921.56	1/2 <sup>-</sup> ,3/2 <sup>-</sup>		
		1390.43 20	55 5	893.16	3/2 <sup>-</sup>		
		1519.1 3	6 3	764.57	1/2 <sup>-</sup>		
		1688.2 6	26 10	595.48	(3/2) <sup>-</sup>		
		2004.4 <sup>c</sup>	21 <sup>c</sup> 7	279.203	3/2 <sup>-</sup>		
		2285 <sup>bd</sup>	<100 <sup>b</sup>	0.0	1/2 <sup>-</sup>		
2305.01	1/2,3/2	1383.43 20	41 5	921.56	1/2 <sup>-</sup> ,3/2 <sup>-</sup>		
		1412.1 4	15 6	893.16	3/2 <sup>-</sup>		
		1490.25 25	100 9	814.71	1/2 <sup>-</sup> ,3/2 <sup>-</sup>		
		2025.85 30	78 7	279.203	3/2 <sup>-</sup>		
		2251.9 5	24 6	53.289	5/2 <sup>-</sup>		
		2267.85 20	42 5	37.083	3/2 <sup>-</sup>		
2311.5	1/2,3/2	2031.8 4	87 11	279.203	3/2 <sup>-</sup>		
		2274.8 4	100 18	37.083	3/2 <sup>-</sup>		
2338.4	1/2,3/2	2285 <sup>b</sup>	<100 <sup>b</sup>	53.289	5/2 <sup>-</sup>		
		2301.2 5	20.3 26	37.083	3/2 <sup>-</sup>		
		2338.4 5	11.9 26	0.0	1/2 <sup>-</sup>		
2339.2	1/2,3/2	2060.4 7	16.7 43	279.203	3/2 <sup>-</sup>		
		2285 <sup>b</sup>	<100 <sup>b</sup>	53.289	5/2 <sup>-</sup>		
2363.1	1/2,3/2	1548.0 <sup>c</sup>	67 <sup>c</sup> 20	814.71	1/2 <sup>-</sup> ,3/2 <sup>-</sup>		
		2084.0 4	27 7	279.203	3/2 <sup>-</sup>		
		2362.9 5	100 17	0.0	1/2 <sup>-</sup>		
2403.1	1/2,3/2	1588.4 5	21 6	814.71	1/2 <sup>-</sup> ,3/2 <sup>-</sup>		
		2123.9 7	5 4	279.203	3/2 <sup>-</sup>		
		2366.0 5	100 10	37.083	3/2 <sup>-</sup>		
2413.01	29/2 <sup>+</sup>	544.2 <sup>#</sup> 1	100 <sup>#</sup>	1868.85	25/2 <sup>+</sup>	E2 <sup>#</sup>	0.0220
2420.27	1/2,3/2	871.85 30	10 5	1548.67	1/2 <sup>-</sup> ,3/2 <sup>-</sup>		
		1415.6 4	16 7	1004.56	1/2 <sup>-</sup> ,3/2 <sup>-</sup>		
		1824.6 4	18 6	595.48	(3/2) <sup>-</sup>		

Adopted Levels, Gammas (continued)

γ(<sup>195</sup>Hg) (continued)

E <sub>i</sub> (level)	J <sub>i</sub> <sup>π</sup>	E <sub>γ</sub>	I <sub>γ</sub> <sup>†</sup>	E <sub>f</sub>	J <sub>f</sub> <sup>π</sup>	Mult.	α <sup>a</sup>	Comments
2420.27	1/2,3/2	2119.9 4	20 5	300.55	3/2 <sup>-</sup> ,5/2 <sup>-</sup>			
		2140.97 20	100 9	279.203	3/2 <sup>-</sup>			
		2382.9 25	90 8	37.083	3/2 <sup>-</sup>			
		2420.2 <sup>b</sup>	<30.4 <sup>b</sup>	0.0	1/2 <sup>-</sup>			
2428.79	1/2,3/2	1288.36 20	39 8	1140.33	1/2 <sup>-</sup> ,3/2,5/2 <sup>-</sup>			
		1833.2 4	18 6	595.48	(3/2) <sup>-</sup>			
		2150.1 5	72 10	279.203	3/2 <sup>-</sup>			
		2391.75 30	100 10	37.083	3/2 <sup>-</sup>			
		2429.0 7	7 6	0.0	1/2 <sup>-</sup>			
2456.8	1/2,3/2	2177.9 4	100 13	279.203	3/2 <sup>-</sup>			
		2420.2 <sup>bd</sup>	<72.2 <sup>b</sup>	37.083	3/2 <sup>-</sup>			
		2456.4 5	54 10	0.0	1/2 <sup>-</sup>			
2508.24	1/2,3/2	1907.9 7	23 17	600.67	3/2 <sup>-</sup>			
		2207.2 7	26 21	300.55	3/2 <sup>-</sup> ,5/2 <sup>-</sup>			
		2228.9 4	60 14	279.203	3/2 <sup>-</sup>			
		2471.13 25	100 10	37.083	3/2 <sup>-</sup>			
		2508.8 7	60 21	0.0	1/2 <sup>-</sup>			
2513.23	1/2 <sup>+</sup> ,3/2 <sup>+</sup>	1591.7 4	45 7	921.56	1/2 <sup>-</sup> ,3/2 <sup>-</sup>			
		1619.5 10	14 11	893.16	3/2 <sup>-</sup>			
		1698.8 10	13 7	814.71	1/2 <sup>-</sup> ,3/2 <sup>-</sup>			
		1912.34 25	29 6	600.67	3/2 <sup>-</sup>			
		1917.6 2	20 5	595.48	(3/2) <sup>-</sup>			
		2212.8 4	46 7	300.55	3/2 <sup>-</sup> ,5/2 <sup>-</sup>			
		2234.21 20	52 5	279.203	3/2 <sup>-</sup>			
		2459.8 7	9 5	53.289	5/2 <sup>-</sup>			
		2476.12 25	38 4	37.083	3/2 <sup>-</sup>			
		2513.28 20	100 7	0.0	1/2 <sup>-</sup>			
		2627.8	31/2 <sup>-</sup>	546.9 <sup>#</sup> 2	100 <sup>#</sup>	2080.93	27/2 <sup>-</sup>	
2691.3	33/2 <sup>+</sup>	278.4 <sup>#</sup> 1	100 <sup>#</sup>	2413.01	29/2 <sup>+</sup>	E2 <sup>#</sup>	0.1334	B(E2)(W.u.)>18
2759.0	(29/2 <sup>+</sup> )	890.1 <sup>#</sup> 3	100 <sup>#</sup>	1868.85	25/2 <sup>+</sup>			
2773.8	33/2 <sup>-</sup>	602.2 <sup>#</sup> 1	100 <sup>#</sup>	2171.6	29/2 <sup>-</sup>			
3159.2	37/2 <sup>+</sup>	467.9 <sup>#</sup> 1	100 <sup>#</sup>	2691.3	33/2 <sup>+</sup>			
3214.9	33/2 <sup>+</sup>	801.8 <sup>#</sup> 2	100 <sup>#</sup>	2413.01	29/2 <sup>+</sup>			
3264.9	33/2 <sup>+</sup>	573.9 <sup>#</sup> 3	100 <sup>#</sup>	2691.3	33/2 <sup>+</sup>			
		851.3 <sup>#</sup> 4	50 <sup>#</sup>	2413.01	29/2 <sup>+</sup>			
3366.8	35/2 <sup>-</sup>	739.0 <sup>#</sup> 2	100 <sup>#</sup>	2627.8	31/2 <sup>-</sup>			
3403.3	35/2	711.8 <sup>#</sup> 5	100 <sup>#</sup>	2691.3	33/2 <sup>+</sup>			
3505.0		813.6 <sup>#</sup> 5	100 <sup>#</sup>	2691.3	33/2 <sup>+</sup>			
3556.0	37/2 <sup>-</sup>	782.1 <sup>#</sup> 1	100 <sup>#</sup>	2773.8	33/2 <sup>-</sup>			
3562.6	37/2 <sup>+</sup>	297.7 <sup>#</sup> 4	11 <sup>#</sup> 2	3264.9	33/2 <sup>+</sup>			

**Adopted Levels, Gammas (continued)**

$\gamma(^{195}\text{Hg})$  (continued)

$E_i(\text{level})$	$J_i^\pi$	$E_\gamma$	$I_\gamma^\dagger$	$E_f$	$J_f^\pi$	$E_i(\text{level})$	$J_i^\pi$	$E_\gamma$	$I_\gamma^\dagger$	$E_f$	$J_f^\pi$
3562.6	37/2 <sup>+</sup>	347.7 <sup>#</sup> 2	19 <sup>#</sup> 2	3214.9	33/2 <sup>+</sup>	5410.8	47/2 <sup>+</sup>	103.2 <sup>#</sup>		5309.4	45/2 <sup>+</sup>
		403.4 <sup>#</sup> 2	100 <sup>#</sup> 9	3159.2	37/2 <sup>+</sup>			701.2 <sup>#</sup> 2	100 <sup>#</sup> 10	4709.6	45/2 <sup>-</sup>
3699.7	37/2 <sup>+</sup>	434.6 <sup>#</sup> 5	50 <sup>#</sup> 15	3264.9	33/2 <sup>+</sup>	5446.0	53/2 <sup>-</sup>	926.2 <sup>#</sup> 3	100 <sup>#</sup>	4519.8	43/2
		484.4 <sup>#</sup> 4	100 <sup>#</sup> 20	3214.9	33/2 <sup>+</sup>	5490.1		970.2 <sup>#</sup> 4	100 <sup>#</sup>	4519.8	43/2
3866.7	39/2	361.6 <sup>#</sup> 7	12 <sup>#</sup> 3	3505.0		5499.3		789.7 <sup>#</sup> 4	100 <sup>#</sup>	4709.6	45/2 <sup>-</sup>
		463.3 <sup>#</sup> 3	88 <sup>#</sup> 9	3403.3	35/2	5558.0?		305.4 <sup>#d</sup> 3	100 <sup>#</sup>	5253.5	
		707.6 <sup>#</sup> 3	100 <sup>#</sup> 15	3159.2	37/2 <sup>+</sup>	5591.4		338.0 <sup>#</sup> 7	100 <sup>#</sup> 38	5253.5	
3868.8	41/2 <sup>+</sup>	710.8 <sup>#</sup> 6	100 <sup>#</sup>	3159.2	37/2 <sup>+</sup>			689.9 <sup>#</sup> 7	75 <sup>#</sup> 25	4901.5	45/2 <sup>+</sup>
4080.2	41/2 <sup>+</sup>	517.7 <sup>#</sup> 2	100 <sup>#</sup>	3562.6	37/2 <sup>+</sup>	5597.7		344.5 <sup>#</sup> 8	25 <sup>#</sup> 13	5253.5	
4183.0	41/2 <sup>-</sup>	626.7 <sup>#</sup> 3	100 <sup>#</sup>	3556.0	37/2 <sup>-</sup>			696.0 <sup>#</sup> 7	100 <sup>#</sup> 25	4901.5	45/2 <sup>+</sup>
4197.1	39/2 <sup>-</sup>	830.3 <sup>#</sup> 2	100 <sup>#</sup>	3366.8	35/2 <sup>-</sup>	5686.8	49/2 <sup>+</sup>	276.4 <sup>#</sup> 3	100 <sup>#</sup> 13	5410.8	47/2 <sup>+</sup>
4397.4	41/2 <sup>+</sup>	697.2 <sup>#</sup> 4	100 <sup>#</sup> 16	3699.7	37/2 <sup>+</sup>			378.6 <sup>#d</sup> 8	11 <sup>#</sup> 4	5309.4	45/2 <sup>+</sup>
		1239.2 <sup>#</sup> 5	47 <sup>#</sup> 11	3159.2	37/2 <sup>+</sup>	5748.6	49/2 <sup>+</sup>	1006.9 <sup>#</sup> 3	100 <sup>#</sup>	4741.7	45/2 <sup>+</sup>
4519.8	43/2	653.1 <sup>#</sup> 2	100 <sup>#</sup>	3866.7	39/2	5799.6		663.1 <sup>#</sup> 4	100 <sup>#</sup>	5136.5	
4580.8		1024.8 <sup>#</sup> 7	100 <sup>#</sup>	3556.0	37/2 <sup>-</sup>	5869.0		967.5 <sup>#</sup> 6	100 <sup>#</sup>	4901.5	45/2 <sup>+</sup>
4709.6	45/2 <sup>-</sup>	526.5 <sup>#</sup> 2	100 <sup>#</sup>	4183.0	41/2 <sup>-</sup>	5892.2	51/2 <sup>+</sup>	205.9 <sup>#</sup> 3	100 <sup>#</sup> 23	5686.8	49/2 <sup>+</sup>
4741.7	45/2 <sup>+</sup>	872.9 <sup>#</sup> 2	100 <sup>#</sup>	3868.8	41/2 <sup>+</sup>			481.3 <sup>#</sup> 3	83 <sup>#</sup> 8	5410.8	47/2 <sup>+</sup>
4802.5	43/2 <sup>-</sup>	605.4 <sup>#</sup> 3	100 <sup>#</sup>	4197.1	39/2 <sup>-</sup>			491.5 <sup>#</sup> 4	38 <sup>#</sup> 6	5400.4	49/2 <sup>-</sup>
4808.9		942.0 <sup>#</sup> 5	100 <sup>#</sup>	3866.7	39/2	5962.9		1061.4 <sup>#</sup> 7	100 <sup>#</sup>	4901.5	45/2 <sup>+</sup>
4901.5	45/2 <sup>+</sup>	821.2 <sup>#</sup> 3	100 <sup>#</sup>	4080.2	41/2 <sup>+</sup>	6175.4		685.1 <sup>#</sup> 7	38 <sup>#</sup> 15	5490.1	
4982.2	43/2 <sup>+</sup>	174.0 <sup>#</sup> 8	11.4 <sup>#</sup> 46	4808.9				729.5 <sup>#</sup> 5	100 <sup>#</sup> 23	5446.0	53/2 <sup>-</sup>
		902.1 <sup>#</sup> 3	100 <sup>#</sup> 11	4080.2	41/2 <sup>+</sup>	6298.6	53/2 <sup>+</sup>	406.5 <sup>#</sup> 3	100 <sup>#</sup> 10	5892.2	51/2 <sup>+</sup>
5136.5		555.7 <sup>#</sup> 5	83 <sup>#</sup> 25	4580.8				611.5 <sup>#</sup> 4	52 <sup>#</sup> 13	5686.8	49/2 <sup>+</sup>
		953.5 <sup>#</sup> 5	100 <sup>#</sup> 33	4183.0	41/2 <sup>-</sup>	6326.5	53/2 <sup>-</sup>	926.0 <sup>#</sup> 3	100 <sup>#</sup>	5400.4	49/2 <sup>-</sup>
5175.8	43/2 <sup>+</sup>	992.5 <sup>#</sup> 4	100 <sup>#</sup> 14	4183.0	41/2 <sup>-</sup>	6495.4	55/2	196.7 <sup>#</sup> 6	100 <sup>#</sup>	6298.6	53/2 <sup>+</sup>
		1307.3 <sup>#</sup> 5	18 <sup>#</sup> 11	3868.8	41/2 <sup>+</sup>	6650.5	55/2 <sup>+</sup>	352.0 <sup>#</sup> 4	76 <sup>#</sup> 10	6298.6	53/2 <sup>+</sup>
5242.2		844.8 <sup>#</sup> 4	100 <sup>#</sup>	4397.4	41/2 <sup>+</sup>			758.3 <sup>#</sup> 3	100 <sup>#</sup> 12	5892.2	51/2 <sup>+</sup>
5253.5		271.5 <sup>#</sup> 3	47 <sup>#</sup> 13	4982.2	43/2 <sup>+</sup>	6791.6	57/2	296.0 <sup>#</sup> 7	100 <sup>#</sup>	6495.4	55/2
		444.3 <sup>#</sup> 4	20 <sup>#</sup> 7	4808.9		7127.1	57/2 <sup>+</sup>	335.4 <sup>#</sup> 7	36 <sup>#</sup> 14	6791.6	57/2
		733.6 <sup>#</sup> 2	100 <sup>#</sup> 27	4519.8	43/2			476.9 <sup>#</sup> 5	82 <sup>#</sup> 14	6650.5	55/2 <sup>+</sup>
5309.4	45/2 <sup>+</sup>	133.4 <sup>#</sup>		5175.8	43/2 <sup>+</sup>			828.3 <sup>#</sup> 4	100 <sup>#</sup> 18	6298.6	53/2 <sup>+</sup>
		912.0 <sup>#</sup> 3	100 <sup>#</sup> 16	4397.4	41/2 <sup>+</sup>	7188.8		1013.4 <sup>#</sup> 7	100 <sup>#</sup>	6175.4	
		1440.9 <sup>#</sup> 4	31 <sup>#</sup> 6	3868.8	41/2 <sup>+</sup>	7404.9	57/2 <sup>(-)</sup>	1078.5 <sup>#</sup> 4	100 <sup>#</sup>	6326.5	53/2 <sup>-</sup>
5379.3	47/2 <sup>-</sup>	576.8 <sup>#</sup> 3	100 <sup>#</sup>	4802.5	43/2 <sup>-</sup>	7411.8	57/2 <sup>(-)</sup>	1085.3 <sup>#</sup> 5	100 <sup>#</sup>	6326.5	53/2 <sup>-</sup>
5400.4	49/2 <sup>-</sup>	690.8 <sup>#</sup> 2	100 <sup>#</sup>	4709.6	45/2 <sup>-</sup>	7536.6	59/2 <sup>+</sup>	409.2 <sup>#</sup> 8	37 <sup>#</sup> 11	7127.1	57/2 <sup>+</sup>

Adopted Levels, Gammas (continued)

$\gamma(^{195}\text{Hg})$  (continued)

$E_i(\text{level})$	$J_i^\pi$	$E_\gamma$	$I_\gamma^\dagger$	$E_f$	$J_f^\pi$	$E_i(\text{level})$	$J_i^\pi$	$E_\gamma$	$I_\gamma^\dagger$	$E_f$	$J_f^\pi$
7536.6	59/2 <sup>+</sup>	886.1 <sup>#</sup> 6	100 <sup>#</sup> 21	6650.5	55/2 <sup>+</sup>	7419.4+x	J+28	743.2 <sup>@</sup> 8	0.41 <sup>@</sup> 7	6676.2+x	J+26
7744.1	59/2 <sup>(-)</sup>	332.7 <sup>#</sup> 7	70 <sup>#</sup> 15	7411.8	57/2 <sup>(-)</sup>	8192.2+x	J+30	772.8 <sup>@</sup> 4	0.34 <sup>@</sup> 4	7419.4+x	J+28
		339.4 <sup>#</sup> 6	100 <sup>#</sup> 20	7404.9	57/2 <sup>(-)</sup>	8994.4+x	J+32	802.2 <sup>@</sup> 9	0.32 <sup>@</sup> 4	8192.2+x	J+30
8008.9	61/2 <sup>+</sup>	472.1 <sup>#</sup> 8	42 <sup>#</sup> 17	7536.6	59/2 <sup>+</sup>	9826.3+x?	J+34	832 <sup>&amp;d</sup>		8994.4+x	J+32
		882.0 <sup>#</sup> 7	100 <sup>#</sup> 25	7127.1	57/2 <sup>+</sup>	10687.4+x?	J+36	861 <sup>&amp;d</sup>		9826.3+x?	J+34
8066.6	61/2 <sup>(-)</sup>	322.6 <sup>#</sup> 6	100 <sup>#</sup> 16	7744.1	59/2 <sup>(-)</sup>	11574.4+x?	J+38	887 <sup>&amp;d</sup>		10687.4+x?	J+36
		654.5 <sup>#</sup> 7	68 <sup>#</sup> 16	7411.8	57/2 <sup>(-)</sup>	273.9+y	J+2	273.9 <sup>@</sup> 2	0.49 <sup>@</sup> 5	y	J $\approx$ (23/2 <sup>+</sup> )
		661.5 <sup>#</sup> 6	84 <sup>#</sup> 21	7404.9	57/2 <sup>(-)</sup>	588.1+y	J+4	314.2 <sup>@</sup> 1	0.64 <sup>@</sup> 5	273.9+y	J+2
8381.7	63/2 <sup>+</sup>	845.1 <sup>#</sup> 6	100 <sup>#</sup>	7536.6	59/2 <sup>+</sup>	941.6+y	J+6	353.5 <sup>@</sup> 1	0.88 <sup>@</sup> 5	588.1+y	J+4
8456.1	63/2 <sup>(-)</sup>	389.2 <sup>#</sup> 5	100 <sup>#</sup> 21	8066.6	61/2 <sup>(-)</sup>	1333.8+y	J+8	392.2 <sup>@</sup> 1	0.92 <sup>@</sup> 5	941.6+y	J+6
		712.2 <sup>#</sup> 5	89 <sup>#</sup> 32	7744.1	59/2 <sup>(-)</sup>	1763.7+y	J+10	429.9 <sup>@</sup> 1	1.00 <sup>@</sup> 6	1333.8+y	J+8
8891.8	65/2 <sup>(-)</sup>	435.4 <sup>#</sup> 6	65 <sup>#</sup> 18	8456.1	63/2 <sup>(-)</sup>	2230.6+y	J+12	466.9 <sup>@</sup> 1	0.94 <sup>@</sup> 5	1763.7+y	J+10
		825.1 <sup>#</sup> 5	100 <sup>#</sup> 35	8066.6	61/2 <sup>(-)</sup>	2733.4+y	J+14	502.8 <sup>@</sup> 1	1.02 <sup>@</sup> 5	2230.6+y	J+12
9331.4	67/2 <sup>(-)</sup>	439.1 <sup>#</sup> 8	50 <sup>#</sup> 17	8891.8	65/2 <sup>(-)</sup>	3271.0+y	J+16	537.6 <sup>@</sup> 1	1.05 <sup>@</sup> 6	2733.4+y	J+14
		875.7 6	100 25	8456.1	63/2 <sup>(-)</sup>	3842.3+y	J+18	571.3 <sup>@</sup> 1	0.87 <sup>@</sup> 6	3271.0+y	J+16
9785.3	69/2 <sup>(-)</sup>	454.0 <sup>#</sup> 8	42 <sup>#</sup> 17	9331.4	67/2 <sup>(-)</sup>	4446.5+y	J+20	604.2 <sup>@</sup> 1	1.04 <sup>@</sup> 7	3842.3+y	J+18
		893.4 <sup>#</sup> 6	100 <sup>#</sup> 25	8891.8	65/2 <sup>(-)</sup>	5082.7+y	J+22	636.2 <sup>@</sup> 4	1.16 <sup>@</sup> 8	4446.5+y	J+20
10220.8	71/2 <sup>(-)</sup>	889.4 <sup>#</sup> 8	100 <sup>#</sup>	9331.4	67/2 <sup>(-)</sup>	5750.8+y	J+24	668.1 <sup>@</sup> 1	1.08 <sup>@</sup> 7	5082.7+y	J+22
171.8+v	J+1	171.8 <sup>#</sup> 5	100 <sup>#</sup>	v	J	6448.9+y	J+26	698.1 <sup>@</sup> 2	0.96 <sup>@</sup> 7	5750.8+y	J+24
443.2+v	J+2	271.5 <sup>#</sup> 5	100 <sup>#</sup>	171.8+v	J+1	7177.2+y	J+28	728.3 <sup>@</sup> 2	0.69 <sup>@</sup> 5	6448.9+y	J+26
748.8+v	J+3	305.7 <sup>#</sup> 5	100 <sup>#</sup> 16	443.2+v	J+2	7935.0+y	J+30	757.8 <sup>@</sup> 2	0.71 <sup>@</sup> 5	7177.2+y	J+28
		576.9 <sup>#</sup> 7	29 <sup>#</sup> 10	171.8+v	J+1	8722.2+y	J+32	787.2 <sup>@</sup> 3	0.54 <sup>@</sup> 5	7935.0+y	J+30
294.0+x?	J+2	294 <sup>&amp;d</sup>		x	J $\approx$ (25/2 <sup>+</sup> )	9538.0+y	J+34	815.8 <sup>@</sup> 9	0.38 <sup>@</sup> 4	8722.2+y	J+32
627.9+x	J+4	333.9 <sup>@</sup> 1	0.64 <sup>@</sup> 7	294.0+x?	J+2	10383.0+y	J+36	845.0 <sup>@</sup> 9	0.16 <sup>@</sup> 3	9538.0+y	J+34
1000.7+x	J+6	372.8 <sup>@</sup> 3	1.07 <sup>@</sup> 30	627.9+x	J+4	11257.0+y?	J+38	874 <sup>&amp;d</sup>		10383.0+y	J+36
1411.9+x	J+8	411.2 <sup>@</sup> 3	0.65 <sup>@</sup> 8	1000.7+x	J+6	244.0+z?	J+2	244 <sup>&amp;d</sup>		z	J $\approx$ (21/2 <sup>-</sup> )
1860.3+x	J+10	448.4 <sup>@</sup> 1	0.86 <sup>@</sup> 7	1411.9+x	J+8	528.5+z	J+4	284.5 <sup>@</sup> 1	0.76 <sup>@</sup> 5	244.0+z?	J+2
2345.0+x	J+12	484.7 <sup>@</sup> 1	0.96 <sup>@</sup> 9	1860.3+x	J+10	853.5+z	J+6	325.0 <sup>@</sup> 1	0.92 <sup>@</sup> 6	528.5+z	J+4
2864.8+x	J+14	519.8 <sup>@</sup> 1	0.92 <sup>@</sup> 10	2345.0+x	J+12	1218.9+z	J+8	365.4 <sup>@</sup> 1	0.99 <sup>@</sup> 6	853.5+z	J+6
3418.8+x	J+16	554.0 <sup>@</sup> 1	1.01 <sup>@</sup> 9	2864.8+x	J+14	1624.2+z	J+10	405.3 <sup>@</sup> 1	0.93 <sup>@</sup> 6	1218.9+z	J+8
4006.3+x	J+18	587.5 <sup>@</sup> 2	1.00 <sup>@</sup> 9	3418.8+x	J+16	2069.2+z	J+12	445.0 <sup>@</sup> 1	0.97 <sup>@</sup> 6	1624.2+z	J+10
4626.6+x	J+20	620.3 <sup>@</sup> 3	1.06 <sup>@</sup> 10	4006.3+x	J+18	2553.7+z	J+14	484.5 <sup>@</sup> 1	0.99 <sup>@</sup> 6	2069.2+z	J+12
5278.8+x	J+22	652.2 <sup>@</sup> 3	1.05 <sup>@</sup> 9	4626.6+x	J+20	3077.3+z	J+16	523.6 <sup>@</sup> 1	1.03 <sup>@</sup> 6	2553.7+z	J+14
5962.0+x	J+24	683.2 <sup>@</sup> 2	0.70 <sup>@</sup> 7	5278.8+x	J+22	3639.4+z	J+18	562.1 <sup>@</sup> 1	0.82 <sup>@</sup> 7	3077.3+z	J+16
6676.2+x	J+26	714.2 <sup>@</sup> 3	0.62 <sup>@</sup> 8	5962.0+x	J+24	4239.4+z	J+20	600.0 <sup>@</sup> 1	1.01 <sup>@</sup> 7	3639.4+z	J+18

Adopted Levels, Gammas (continued)

γ(<sup>195</sup>Hg) (continued)

E <sub>i</sub> (level)	J <sub>i</sub> <sup>π</sup>	E <sub>γ</sub>	I <sub>γ</sub> <sup>†</sup>	E <sub>f</sub>	J <sub>f</sub> <sup>π</sup>	E <sub>i</sub> (level)	J <sub>i</sub> <sup>π</sup>	E <sub>γ</sub>	I <sub>γ</sub> <sup>†</sup>	E <sub>f</sub>	J <sub>f</sub> <sup>π</sup>
4876.6+z	J+22	637.1 <sup>@</sup> 4	1.00 <sup>@</sup> 9	4239.4+z	J+20	2093.6+u	J+10	494.5 <sup>@</sup> 1	1.03 <sup>@</sup> 16	1599.1+u	J+8
5549.9+z	J+24	673.4 <sup>@</sup> 2	1.07 <sup>@</sup> 7	4876.6+z	J+22	2625.0+u	J+12	531.4 <sup>@</sup> 1	0.90 <sup>@</sup> 17	2093.6+u	J+10
6258.6+z	J+26	708.7 <sup>@</sup> 4	1.12 <sup>@</sup> 9	5549.9+z	J+24	3192.6+u	J+14	567.6 <sup>@</sup> 1	0.97 <sup>@</sup> 18	2625.0+u	J+12
7000.8+z	J+28	742.2 <sup>@</sup> 9	0.64 <sup>@</sup> 10	6258.6+z	J+26	3795.4+u	J+16	602.8 <sup>@</sup> 1	1.00 <sup>@</sup> 18	3192.6+u	J+14
7776.9+z	J+30	776.1 <sup>@</sup> 3	0.54 <sup>@</sup> 4	7000.8+z	J+28	4433.5+u	J+18	638.1 <sup>@</sup> 1	1.02 <sup>@</sup> 21	3795.4+u	J+16
8581.9+z	J+32	805.0 <sup>@</sup> 4	0.33 <sup>@</sup> 5	7776.9+z	J+30	5105.9+u	J+20	672.4 <sup>@</sup> 2	1.12 <sup>@</sup> 22	4433.5+u	J+18
9411.0+z	J+34	829.1 <sup>@</sup> 6	0.22 <sup>@</sup> 4	8581.9+z	J+32	5811.8+u	J+22	705.9 <sup>@</sup> 2	1.00 <sup>@</sup> 26	5105.9+u	J+20
10259.5+z	J+36	848.5 <sup>@</sup> 5	0.17 <sup>@</sup> 4	9411.0+z	J+34	6550.9+u	J+24	739.1 <sup>@</sup> 8	0.75 <sup>@</sup> 20	5811.8+u	J+22
11127.5+z?	J+38	868 <sup>&amp;d</sup>		10259.5+z	J+36	7322.5+u	J+26	771.6 <sup>@</sup> 2	0.64 <sup>@</sup> 18	6550.9+u	J+24
341.9+u	J+2	341.9 <sup>@</sup> 1	0.89 <sup>@</sup> 16	u	J≈(31/2 <sup>-</sup> )	8125.5+u	J+28	803.4 <sup>@</sup> 5	0.40 <sup>@</sup> 16	7322.5+u	J+26
722.8+u	J+4	380.9 <sup>@</sup> 1	1.06 <sup>@</sup> 22	341.9+u	J+2	8962.0+u	J+30	836.1 <sup>@</sup> 5	0.38 <sup>@</sup> 15	8125.5+u	J+28
1141.9+u	J+6	419.1 <sup>@</sup> 1	0.81 <sup>@</sup> 16	722.8+u	J+4	9830.0+u	J+32	868.0 <sup>@</sup> 6	0.38 <sup>@</sup> 17	8962.0+u	J+30
1599.1+u	J+8	457.2 <sup>@</sup> 1	1.00 <sup>@</sup> 16	1141.9+u	J+6	10729.0+u?	J+34	899 <sup>d</sup>		9830.0+u	J+32

<sup>†</sup> Relative photon branching normalized to I<sub>γ</sub>=100 for the strongest γ from each level, unless otherwise stated.

<sup>‡</sup> From <sup>195</sup>Hg IT decay (41.6 h).

# From (HI,xny). ΔI<sub>γ</sub> are between 5% and 20%.

@ From (HI,xny):SD. Intensities are relative values within each band.

& From (HI,xny):SD.

<sup>a</sup> Total theoretical internal conversion coefficients, calculated using the BrIcc code (2008Ki07) with Frozen orbital approximation based on γ-ray energies, assigned multiplicities, and mixing ratios, unless otherwise specified.

<sup>b</sup> Multiply placed with undivided intensity.

<sup>c</sup> Multiply placed with intensity suitably divided.

<sup>d</sup> Placement of transition in the level scheme is uncertain.

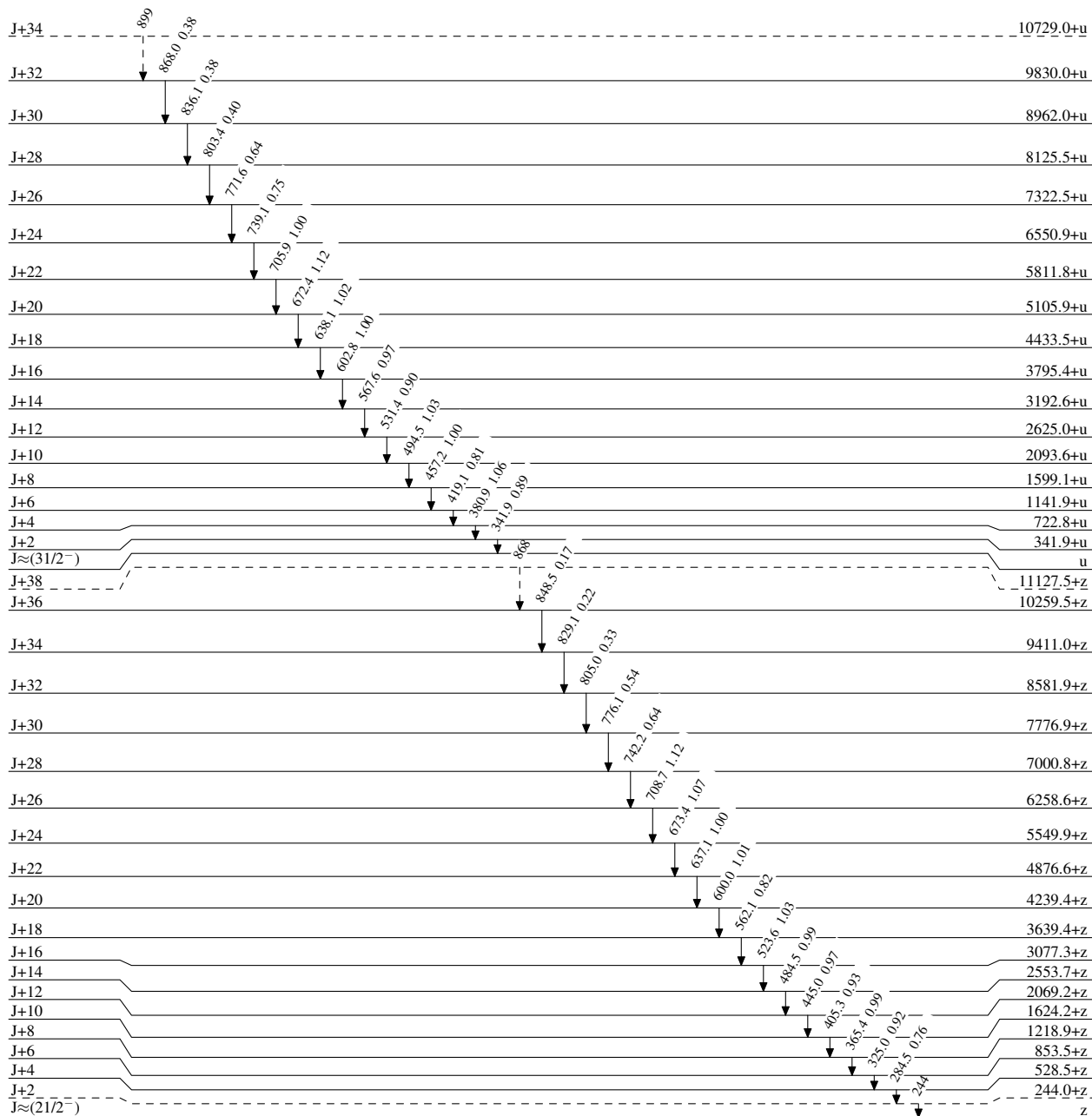
**Adopted Levels, Gammas**

Legend

Level Scheme

Intensities: Relative photon branching from each level

-----▶  $\gamma$  Decay (Uncertain)



1/2-

0.0

10.53 h 3

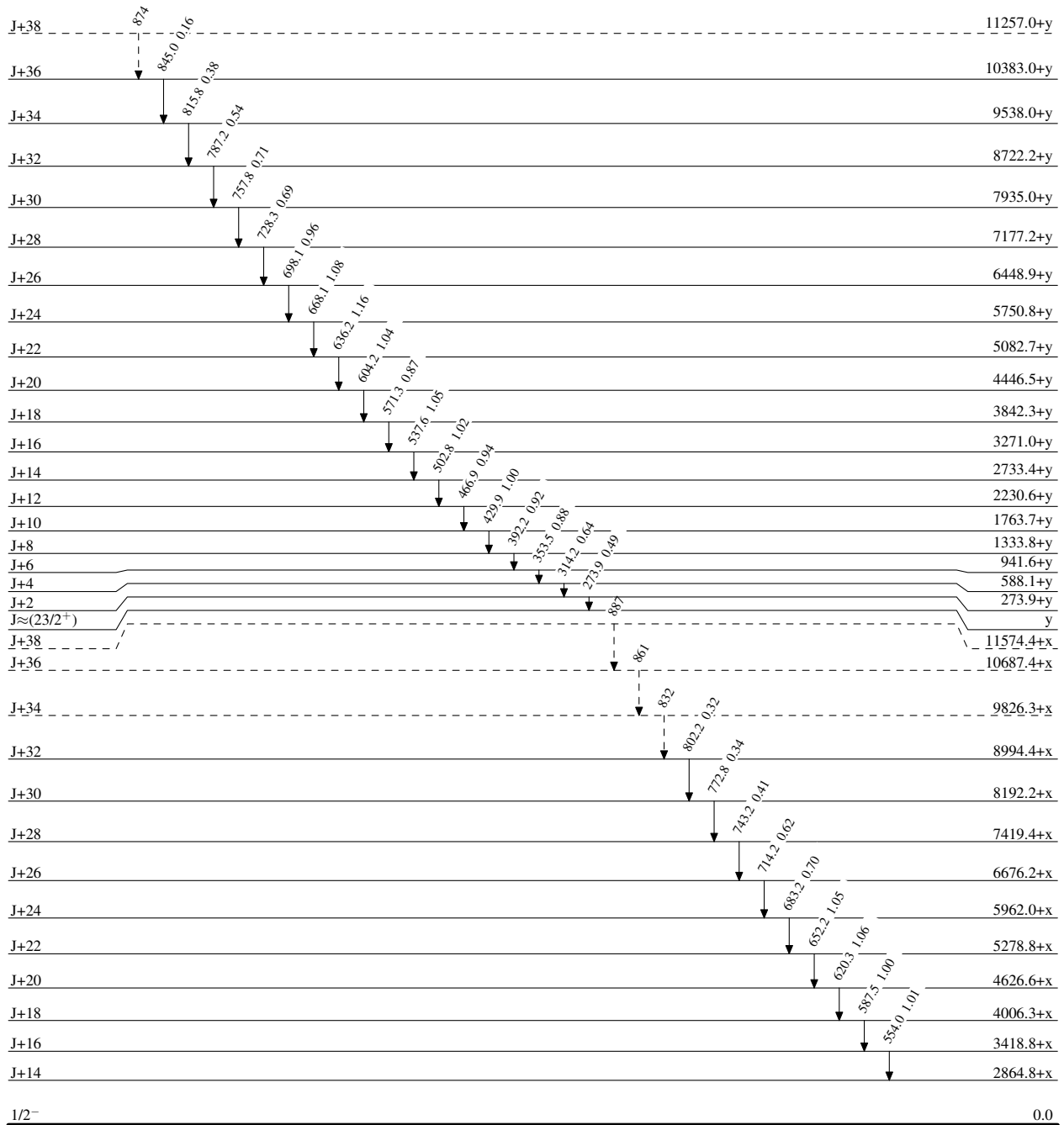
**Adopted Levels, Gammas**

Legend

Level Scheme (continued)

Intensities: Relative photon branching from each level

-----▶  $\gamma$  Decay (Uncertain)



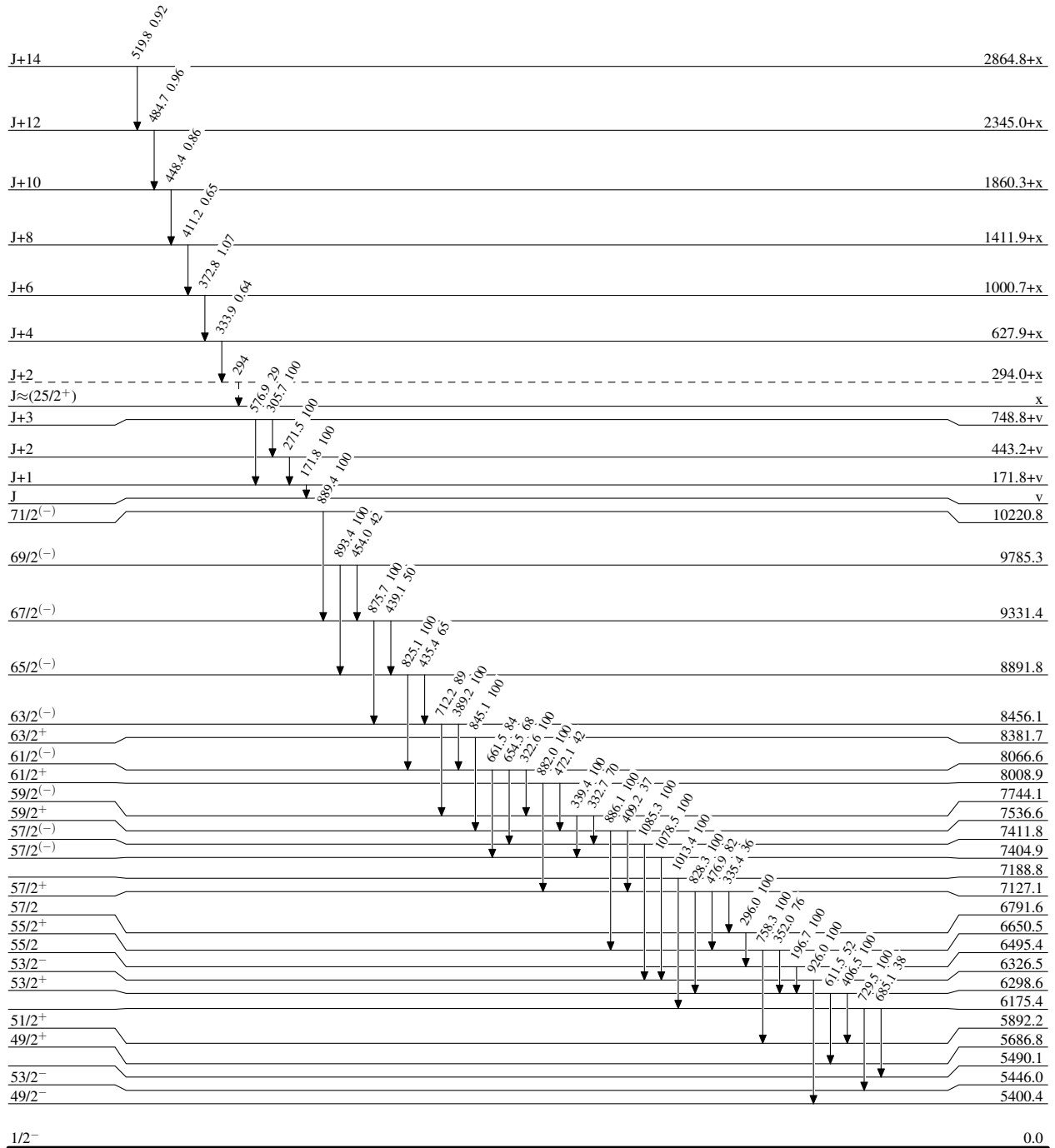
**Adopted Levels, Gammas**

Legend

**Level Scheme (continued)**

Intensities: Relative photon branching from each level

-----▶  $\gamma$  Decay (Uncertain)



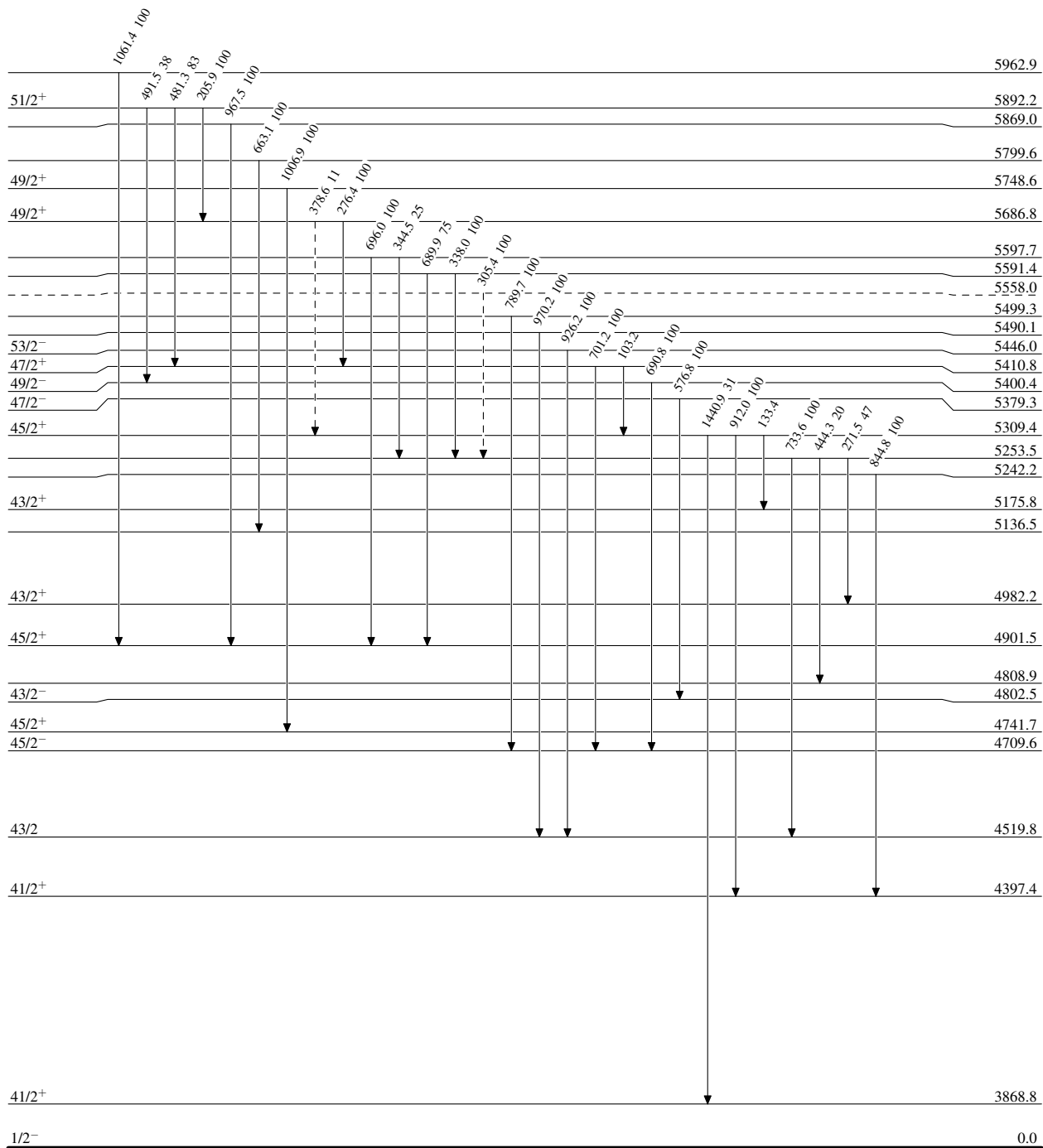
**Adopted Levels, Gammas**

Legend

Level Scheme (continued)

Intensities: Relative photon branching from each level

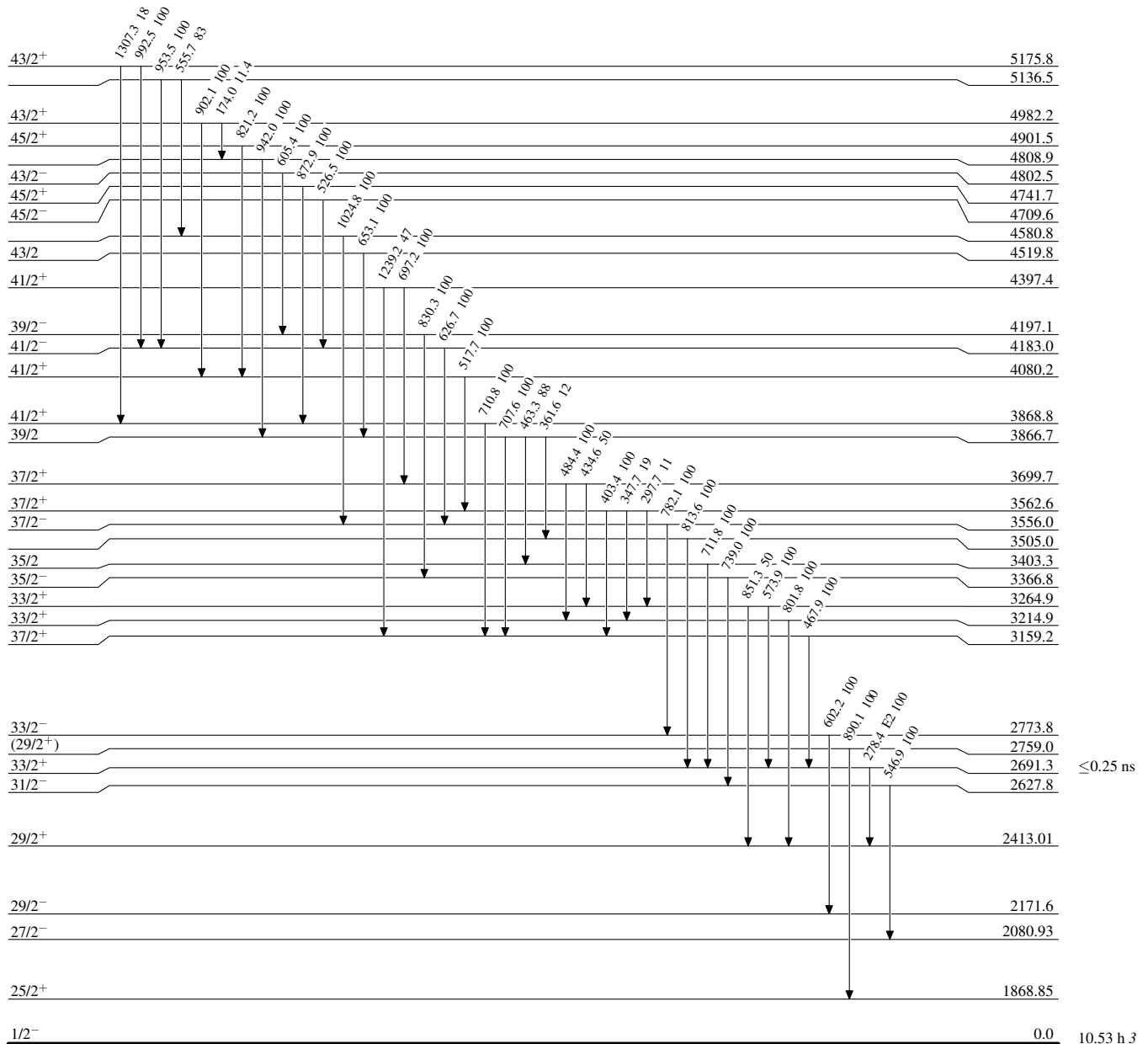
-----▶  $\gamma$  Decay (Uncertain)



**Adopted Levels, Gammas**

**Level Scheme (continued)**

Intensities: Relative photon branching from each level



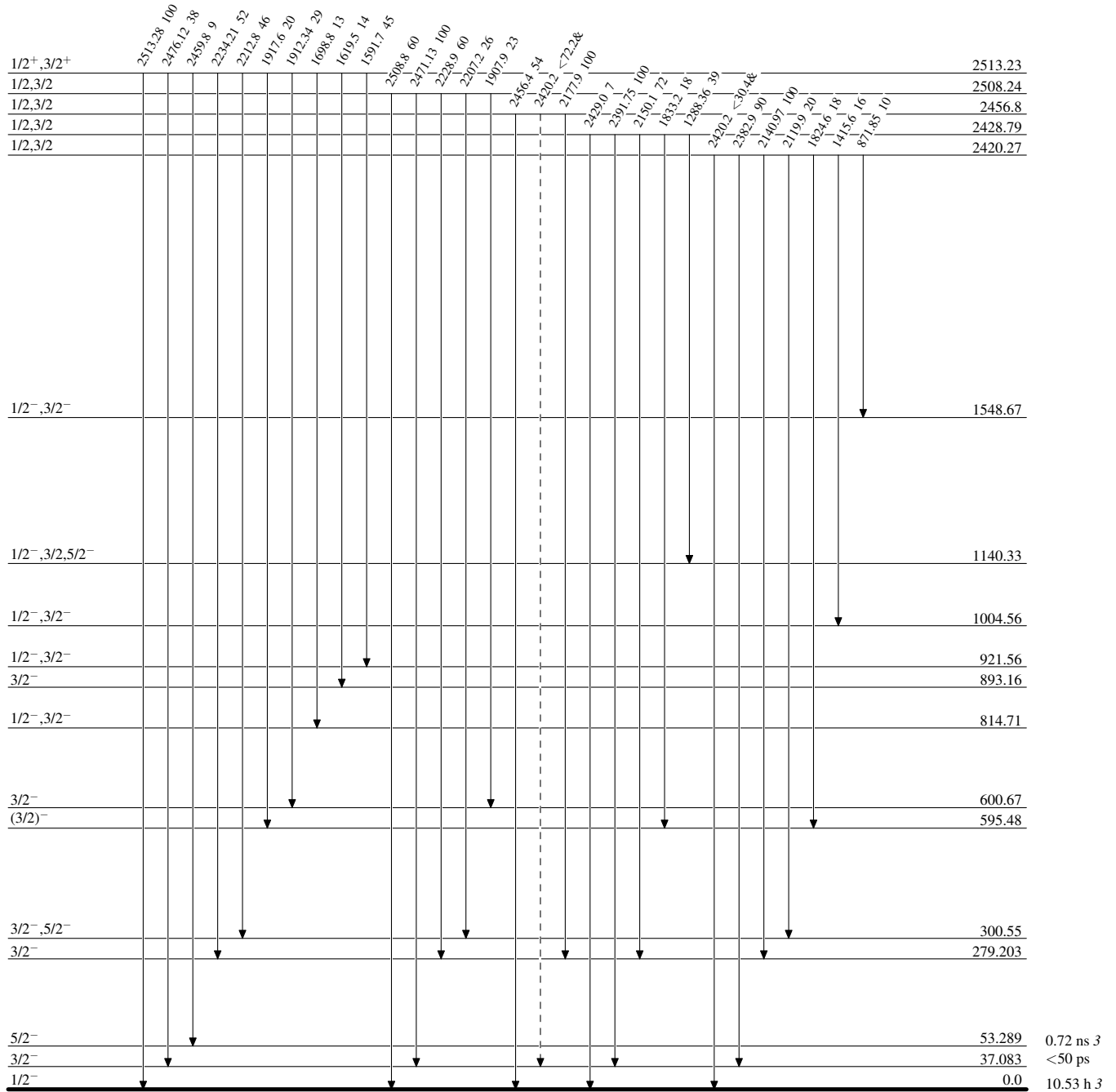
**Adopted Levels, Gammas**

Legend

**Level Scheme (continued)**

Intensities: Relative photon branching from each level  
& Multiply placed: undivided intensity given

-----▶  $\gamma$  Decay (Uncertain)

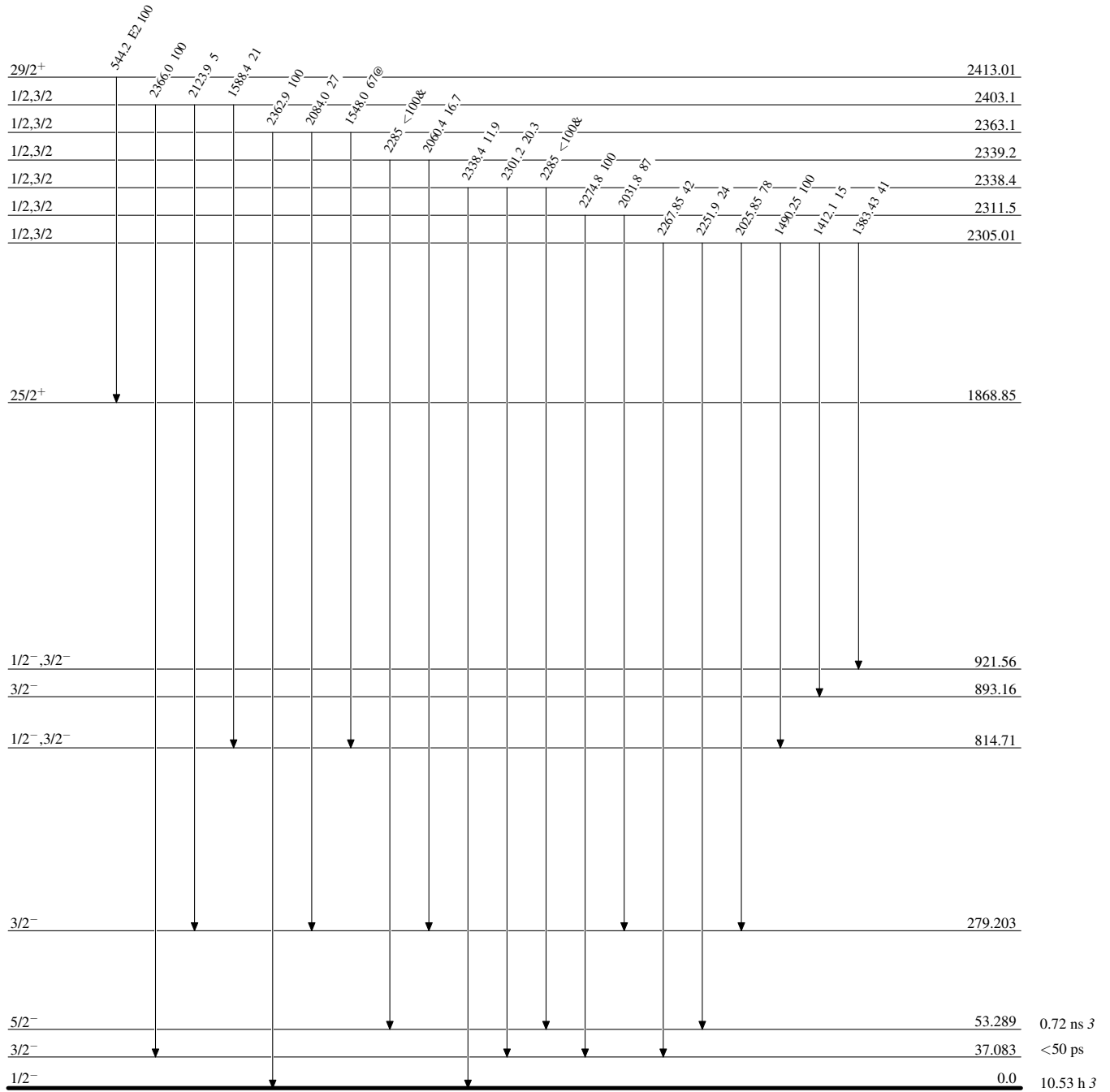


$^{195}_{80}\text{Hg}_{115}$

**Adopted Levels, Gammas**

Level Scheme (continued)

Intensities: Relative photon branching from each level  
 & Multiply placed: undivided intensity given  
 @ Multiply placed: intensity suitably divided



$^{195}_{80}\text{Hg}_{115}$

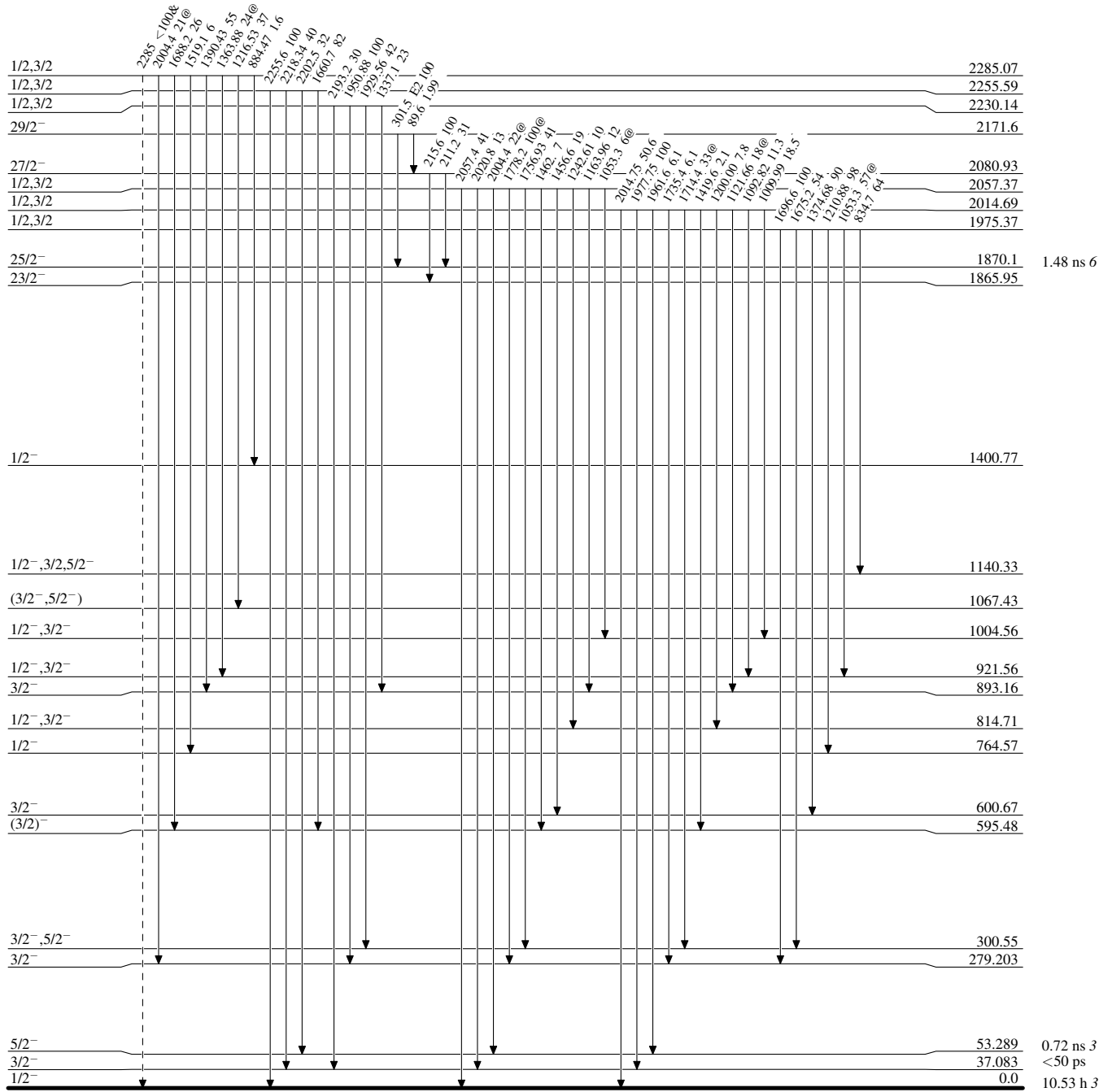
**Adopted Levels, Gammas**

**Level Scheme (continued)**

Legend

Intensities: Relative photon branching from each level  
& Multiply placed: undivided intensity given  
@ Multiply placed: intensity suitably divided

-----▶  $\gamma$  Decay (Uncertain)

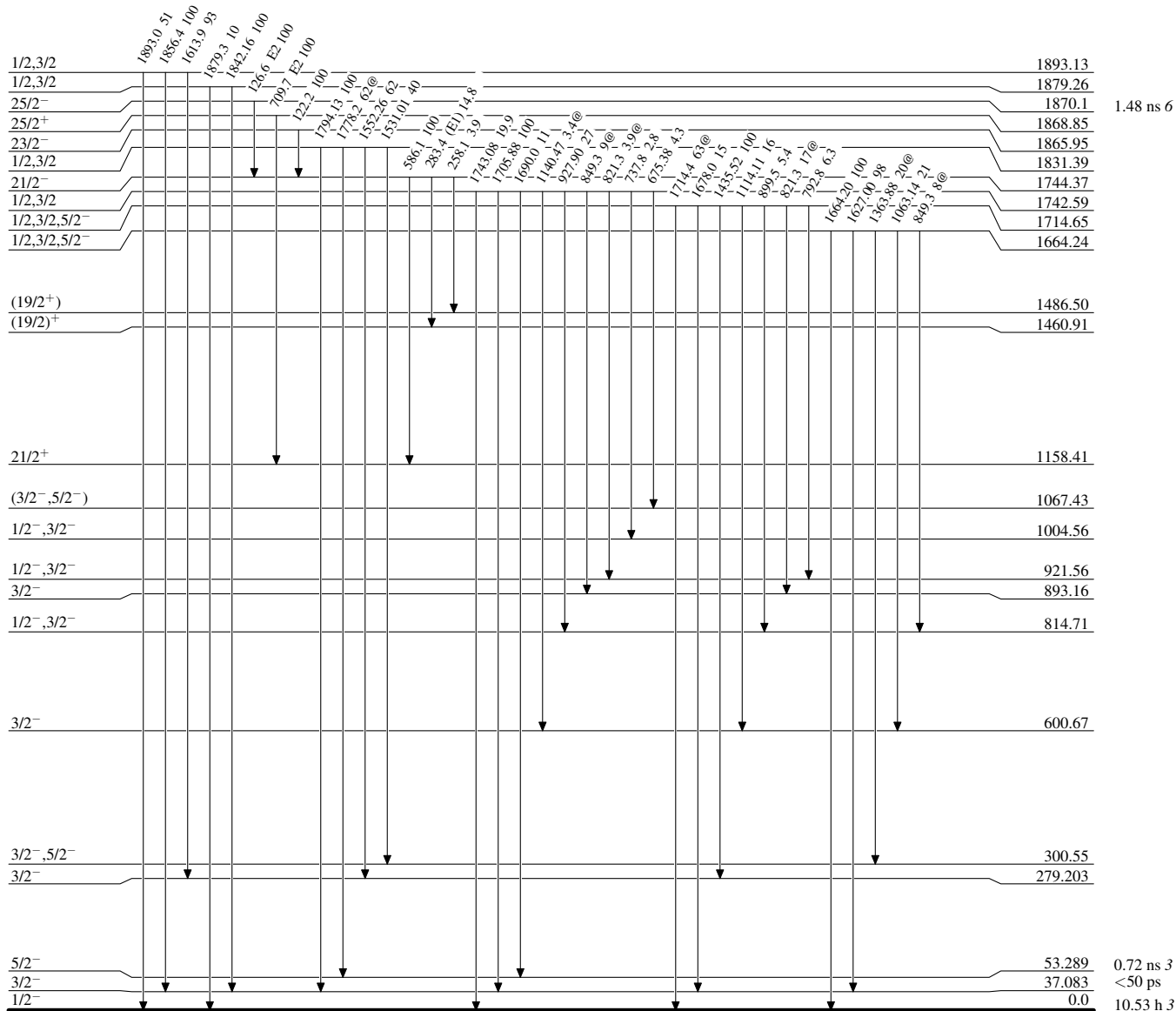


$^{195}_{80}\text{Hg}_{115}$

**Adopted Levels, Gammas**

**Level Scheme (continued)**

Intensities: Relative photon branching from each level  
& Multiply placed: undivided intensity given  
@ Multiply placed: intensity suitably divided

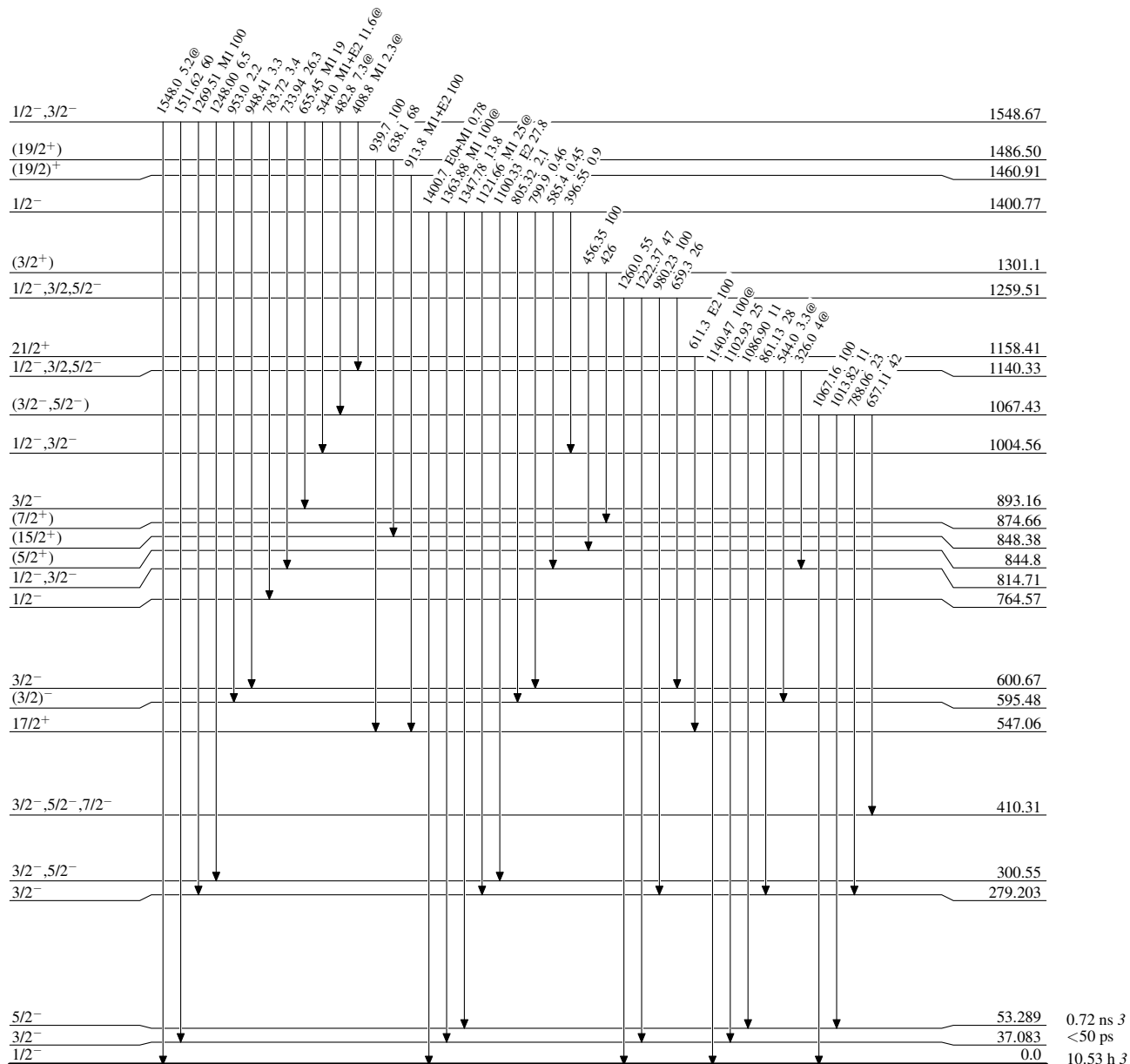


$^{195}_{80}\text{Hg}_{115}$

**Adopted Levels, Gammas**

**Level Scheme (continued)**

Intensities: Relative photon branching from each level  
 & Multiply placed: undivided intensity given  
 @ Multiply placed: intensity suitably divided



$^{195}_{80}\text{Hg}_{115}$

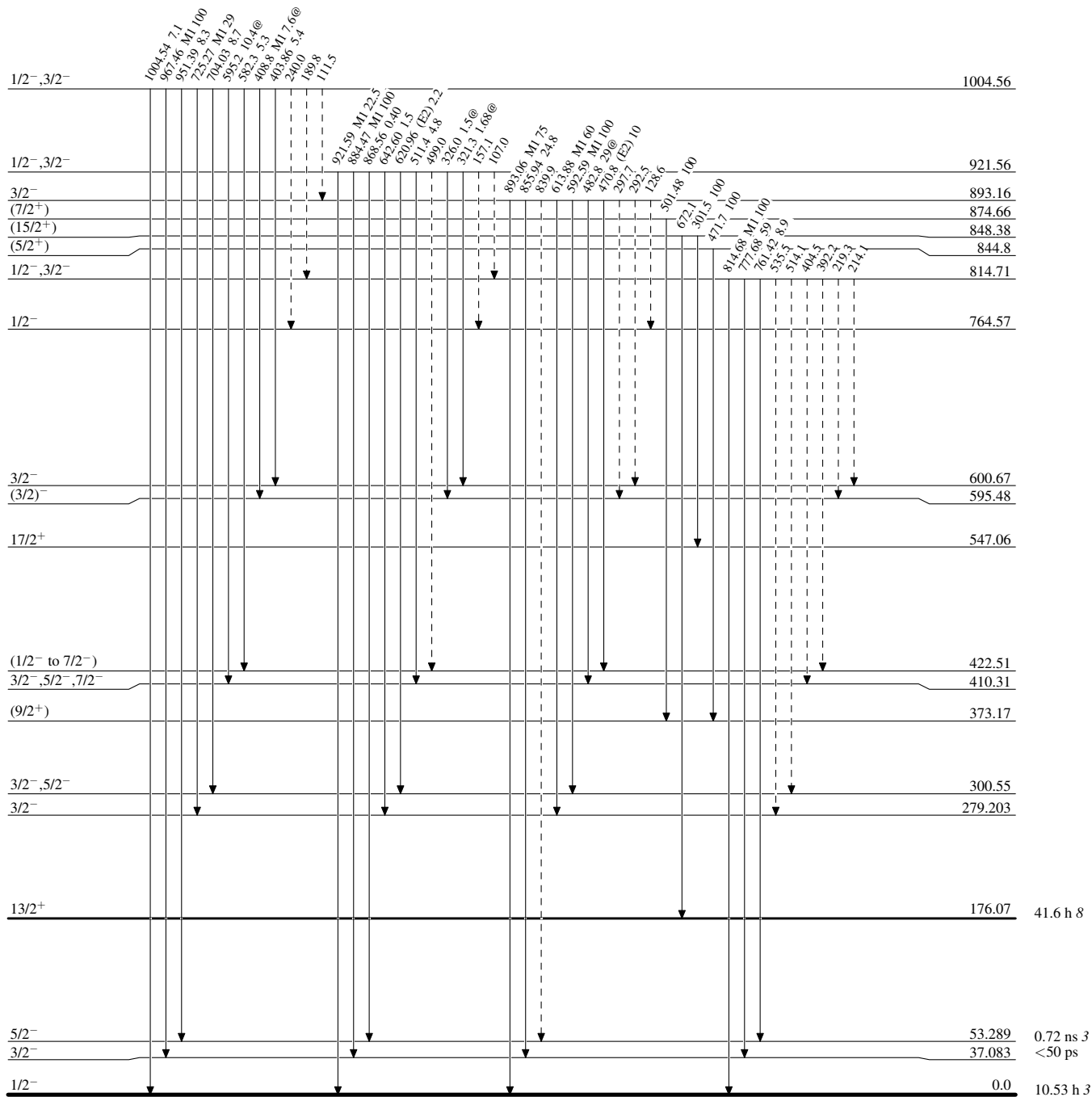
**Adopted Levels, Gammas**

Level Scheme (continued)

Legend

Intensities: Relative photon branching from each level  
& Multiply placed: undivided intensity given  
@ Multiply placed: intensity suitably divided

-----▶  $\gamma$  Decay (Uncertain)



$^{195}_{80}\text{Hg}_{115}$

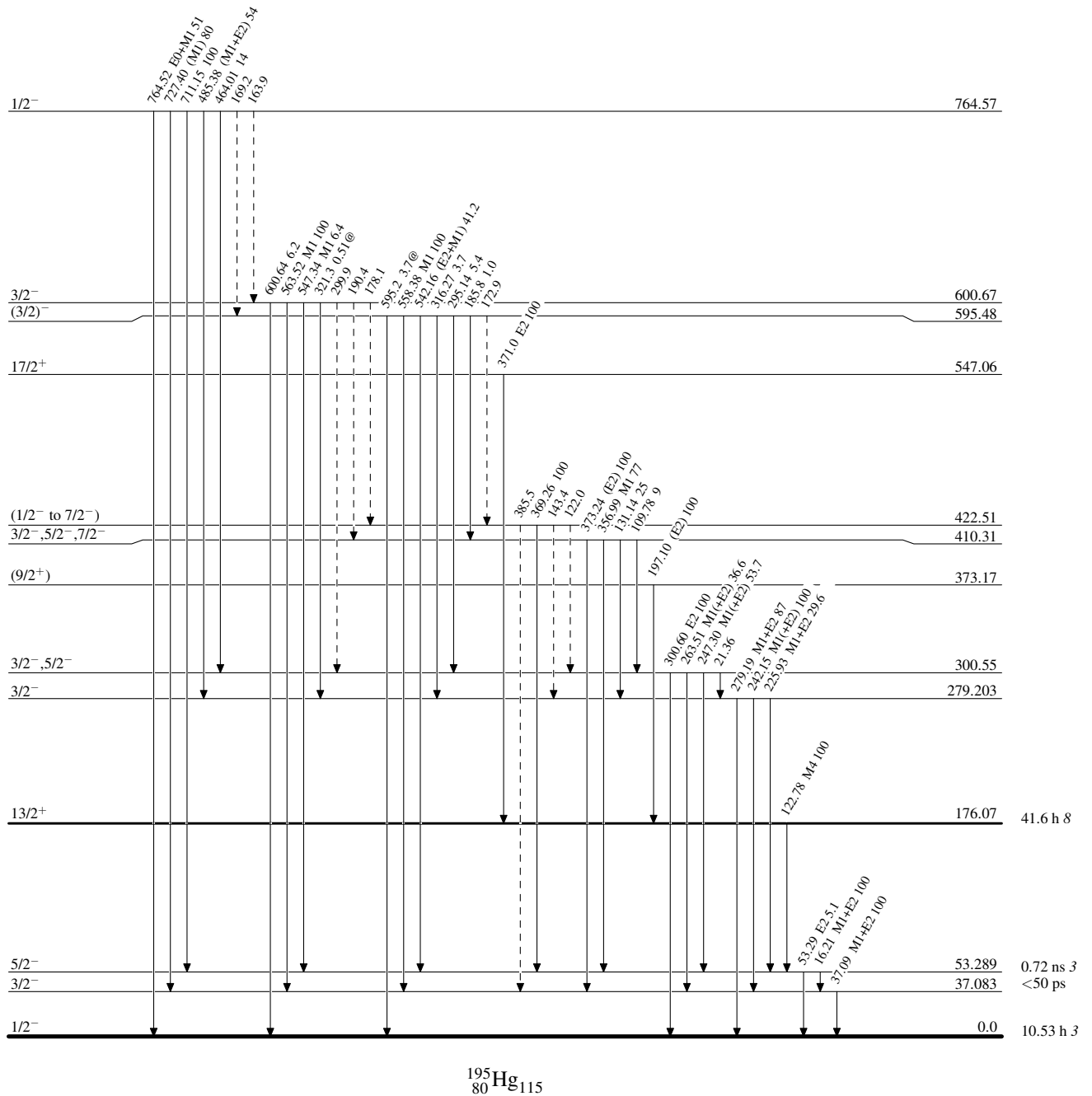
**Adopted Levels, Gammas**

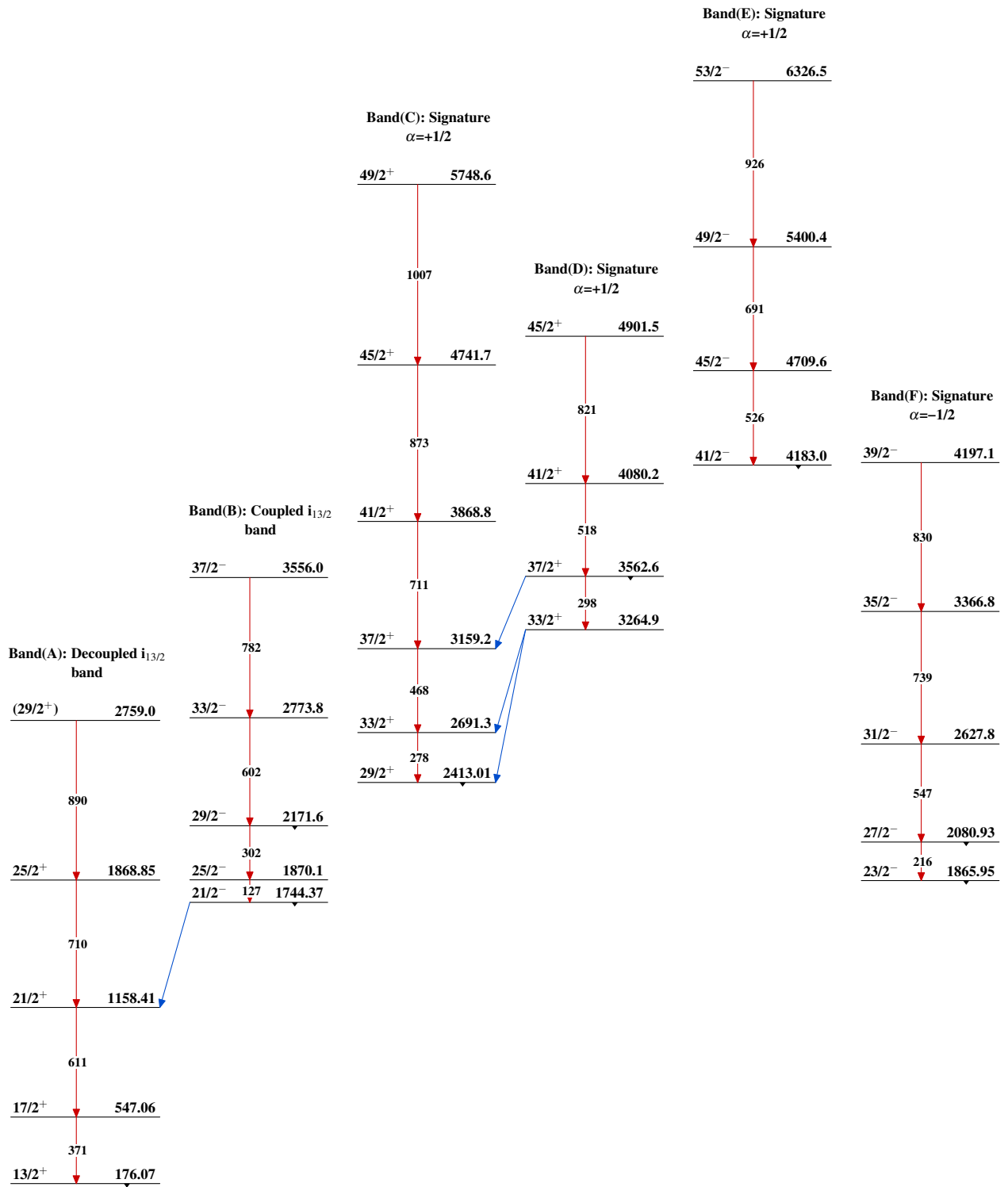
**Level Scheme (continued)**

Legend

Intensities: Relative photon branching from each level  
& Multiply placed: undivided intensity given  
@ Multiply placed: intensity suitably divided

-----▶  $\gamma$  Decay (Uncertain)



Adopted Levels, Gammas

Adopted Levels, Gammas (continued)Band(K): SD-1 band (1997Ha01),  
 $\alpha=+1/2$ 

J+38	11574.4+x
J+36	10687.4+x
J+34	9826.3+x
J+32	8994.4+x
J+30	8192.2+x
J+28	7419.4+x
J+26	6676.2+x
J+24	5962.0+x
J+22	5278.8+x
J+20	4626.6+x
J+18	4006.3+x
J+16	3418.8+x
J+14	2864.8+x
J+12	2345.0+x
J+10	1860.3+x
J+8	1411.9+x
J+6	1000.7+x
J+4	627.9+x
J+2	294.0+x
J $\approx(25/2^-)$	x

Band(J): Dipole  
sequence-3

J+3	748.8+v
J+2	443.2+v
J+1	171.8+v
J	v

Band(H): Dipole sequence-1  $\pi=(-)$ 

71/2 <sup>(-)</sup>	10220.8
69/2 <sup>(-)</sup>	9785.3
67/2 <sup>(-)</sup>	9331.4
65/2 <sup>(-)</sup>	8891.8
63/2 <sup>(-)</sup>	8456.1
61/2 <sup>(-)</sup>	8066.6
59/2 <sup>(-)</sup>	7744.1

Band(I): Dipole sequence-2  $\pi=+$ 

63/2 <sup>+</sup>	8381.7
61/2 <sup>+</sup>	8008.9
59/2 <sup>+</sup>	7536.6
57/2 <sup>+</sup>	7127.1
55/2 <sup>+</sup>	6650.5
53/2 <sup>+</sup>	6298.6
51/2 <sup>+</sup>	5892.2
49/2 <sup>+</sup>	5686.8
47/2 <sup>+</sup>	5410.8

Band(G): Signature  
 $\alpha=-1/2$ 

47/2 <sup>-</sup>	5379.3
43/2 <sup>-</sup>	4802.5

**Adopted Levels, Gammas (continued)**

		Band(M): SD-3 band (1997Ha01), $\alpha=+1/2$	
	J+38	11127.5+z	
	J+36	868	10259.5+z
	J+34	848	9411.0+z
	J+32	829	8581.9+z
	J+30	805	7776.9+z
	J+28	776	7000.8+z
	J+26	742	6258.6+z
	J+24	709	5549.9+z
	J+22	673	4876.6+z
	J+20	637	4239.4+z
	J+18	600	3639.4+z
	J+16	562	3077.3+z
	J+14	524	2553.7+z
	J+12	484	2069.2+z
	J+10	445	1624.2+z
	J+8	405	1218.9+z
	J+6	365	853.5+z
	J+4	325	528.5+z
	J+2	284	244.0+z
	$J \approx (21/2^-)$	244	z
		Band(L): SD-2 band (1997Ha01), $\alpha=-1/2$	
	J+38	11257.0+y	
	J+36	874	10383.0+y
	J+34	845	9538.0+y
	J+32	816	8722.2+y
	J+30	787	7935.0+y
	J+28	758	7177.2+y
	J+26	728	6448.9+y
	J+24	698	5750.8+y
	J+22	668	5082.7+y
	J+20	636	4446.5+y
	J+18	604	3842.3+y
	J+16	571	3271.0+y
	J+14	538	2733.4+y
	J+12	503	2230.6+y
	J+10	467	1763.7+y
	J+8	430	1333.8+y
	J+6	392	941.6+y
	J+4	354	588.1+y
	J+2	314	273.9+y
	$J \approx (23/2^+)$	274	y

**Adopted Levels, Gammas (continued)**Band(N): SD-4 band (1997Ha01),  
 $\alpha=-1/2$ 

J+34	10729.0+u
	899
J+32	9830.0+u
	868
J+30	8962.0+u
	836
J+28	8125.5+u
	803
J+26	7322.5+u
	772
J+24	6550.9+u
	739
J+22	5811.8+u
	706
J+20	5105.9+u
	672
J+18	4433.5+u
	638
J+16	3795.4+u
	603
J+14	3192.6+u
	568
J+12	2625.0+u
	531
J+10	2093.6+u
	494
J+8	1599.1+u
	457
J+6	1141.9+u
	419
J+4	722.8+u
	381
J+2	341.9+u
J $\approx(31/2^-)$	342 u

 $^{195}_{80}\text{Hg}_{115}$